

LATITUDE INTEGRATION ESPECIFICAÇÃO IDCO

LATITUDE™

O sistema de Gestão de Pacientes LATITUDE

Остаряла версия. Да не се използва.
Zastaralá verze. Nepoužívat.
Forældet version. Må ikke anvendes.
Version überholt. Ärge kasuttage.
Aegunud versioon. Mην την χρησιμοποιείτε.
Παλιά έκδοση. Μην την χρησιμοποιείτε.
Outdated version. Do not use.
Versión obsoleta. Ne pas utiliser.
Version périmée. Ne pas utiliser.
Zastarjela verzija. Nemojte upotrebljavati.
Úreлт útгáfa. Notið ekki.
Versione obsoleta. Non utilizzare.
Pasenusi versija. Nenaudokite.
Elavult verzió. Ne használja!
Dit is een verouderde versie. Niet gebruiken.
Utdatert versjon. Skal ikke brukes.
Wersja przeterminowana. Nie używać.
Versão obsoleta. Não utilize.
Versiune expirată. A nu se utiliza.
Zastaraná verzia. Nepoužívať.
Zastarela različica. Ne uporabite.
Vanhentunut versio. Älä käytä.
Föråldrad version. Använd ej.
Güncel olmayan sürüm. Kullanmayın.

Остаряла версия. Да не се използва.
Zastaralá verze. Nepoužívát.
Forældet version. Må ikke anvendes.
Version überholt. Nicht verwenden.
Aegunud versioón. Myn þyn Χρησιμοποιείτε.
Παλιά έκδοση. Μην την Χρησιμοποιείτε.
Outdated version. Do not use.
Version obsoleta. Ne utilizar.
Zastarjela verzija. Nemojte upotrebljavati.
Úrelt útgáfa. Notið ekki.
Versione obsoleta. Non utilizzare.
Pasenusi versija. Neizmantot.
Elavult verzió. Ne használja!
Dit is een verouderde versie. Niet gebruiken.
Wersja przeterminowana. Nie używać.
Versão expiratã. A nu se utiliza.
Versiune expirată. Nu se utilizează.
Zastaraná verzia. Nepoužívát.
Zastarela različica. Ne uporabite.
Vanhentunut versio. Älä käytä.
Föråldrad version. Använd ej.
Güncel olmayan sürüm. Kullanmayın.

ACERCA DESTE MANUAL

O sistema de monitorização remota de pacientes Boston Scientific LATITUDE gera mensagens de Observação cardíaca de dispositivo implantável (IDCO), de acordo com as especificações e definições publicadas neste documento. As mensagens estão em conformidade com o perfil Integrating the Healthcare Enterprise (IHE) Patient Care Device (PCD) Technical Framework IDCO. Estas mensagens são utilizadas para fornecer dados do paciente aos sistemas de registo médico eletrónico (EMR).

Este documento destina-se aos clientes da Boston Scientific (BSC) LATITUDE que (1) integram mensagens IDCO num EMR e (2) utilizam sistemas EMR ou para controlar e gerir os dados dos pacientes.

A primeira secção deste documento ("Especificação da Mensagem IDCO do LATITUDE") destina-se sobretudo ao pessoal técnico envolvido na integração de mensagens. A segunda secção ("Conversão de dados do dispositivo implantado em mensagens IDCO") destina-se sobretudo ao médico como esclarecimento adicional da versão da Boston Scientific dos dados incluídos na mensagem.

OBSERVAÇÕES: Assume-se que os leitores deste documento estão familiarizados com a terminologia HL7 e IDCO, sintaxe da especificação, tipos de dados, estruturas das mensagens e semântica das mensagens IDCO. Para mais informações, ver:

- www.hl7.org para mensagens HL7
- www.ihe.net para mensagens IDCO
- http://ihe.net/Technical_Framework/index.cfm#pcd para PCD-09 Technical Framework (composto pelos volumes 1, 2 e 3)
- <http://standards.ieee.org/findstds/standard/11073-10103-2012.html> para nomenclatura IEEE IDCO

As seguintes são marcas comerciais da Boston Scientific Corporation ou das respetivas filiais: LATITUDE, LATITUDE Clarity e RYTHMIQ.

Остаряла версия. Да не се използва.
Zastaralá verze. Nepoužívát.
Forældet version. Må ikke anvendes.
Version überholt. Nicht verwenden.
Aegunud versioón. Myn þyn Χρησιμοποιείτε.
Παλιά έκδοση. Μην την χρησιμοποιείτε.
Outdated version. Do not use.
Versión obsoleta. No utilizar.
Version périmée. Ne pas utiliser.
Zastarjela verzija. Nemojte upotrebljavati.
Úrelt útgáfa. Notið ekki.
Versione obsoleta. Non utilizzare.
Pasenusi versija. Neizmantot.
Elavult verzió. Ne használja!
Dit is een verouderde versie. Niet gebruiken.
Wersja przeterminowana. Nie używać.
Versão expiratã. A nu se utiliza.
Versiune expirată. Nu se utilizează.
Zastaraná verzia. Nepoužívát.
Zastarela različica. Ne uporabite.
Vanhentunut versio. Älä käytä.
Föråldrad version. Använd ej.
Güncel olmayan sürüm. Kullanmayın.

ÍNDICE REMISSIVO

ESPECIFICAÇÃO DA MENSAGEM IDCO DO LATITUDE	1-1
CAPÍTULO 1	
Especificação da mensagem IDCO do Latitude	1-2
Estrutura dos segmentos	1-2
Estrutura do segmento MSH	1-2
Estrutura do segmento PID	1-2
Identificador do paciente da IDCO padrão (primeiro identificador na lista).....	1-2
ID do paciente do Latitude (segundo identificador na lista).....	1-2
Estrutura do segmento PV1	1-3
Estrutura do segmento PV2	1-3
Estrutura do segmento OBR.....	1-3
Estrutura do segmento OBX.....	1-3
Parâmetros de produção.....	1-4
Estrutura do segmento NTE	1-4
Relatórios	1-5
Configuração	1-5
Apresentação de relatório EGM/S-ECG.....	1-6
Relatório de detalhes do evento.....	1-6
Relatório de Seguimento Combinado.....	1-7
Relatório do registo de arritmias.....	1-7
Relatório de Gestão de insuficiência cardíaca.....	1-7
Relatório de seguimento.....	1-7
Nomes de relatório na Mensagem.....	1-7
Termos de Base.....	1-7
CONVERSÃO DE DADOS DO DISPOSITIVO IMPLANTADO EM MENSAGENS IDCO	2-1
CAPÍTULO 2	
Estado da bateria.....	2-2
SET_BRADY_SENSOR_TYPE	2-2
Mapeamento do tipo de zona	2-2
Mapeamento de episódios	2-3
Mapeamento de contadores	2-5
Mapeamento da configuração do electrocateter	2-7
Limitações do sistema.....	2-8
Definições de alertas e avisos.....	2-8
EXEMPLO DE FICHEIROS IDCO.....	3-1
CAPÍTULO 3	

Exemplo de Ficheiros IDCO	3-2
Mensagem De Exemplo 1 – Dispositivo S-ICD	3-2
Mensagem de exemplo 2 – Dispositivo ICM.....	3-3
Mensagem de exemplo 3 – Outros dispositivo de terapêutica (não S-ICD).....	3-7
SÍMBOLOS UTILIZADOS NOS RÓTULOS.....	A-1
ANEXO A	

Остаряла версия. Да не се използва.
 Zastaralá verze. Nepoužívat.
 Forældet version. Må ikke anvendes.
 Version überholt. Nicht verwenden.
 Aegunud versioón. Myn þyn Χρησιμοποιείτε.
 Παλιά έκδοση. Μην την χρησιμοποιείτε.
 Outdated version. Do not use.
 Versión obsoleta. No utilizar.
 Version périmée. Ne pas utiliser.
 Zastarjela verzija. Nemojte upotrebljavati.
 Úreлт útγάfa. Notið ekki.
 Versione obsoleta. Non utilizzare.
 Pasenusi versija. Neizmantot.
 Elavult verzió. Ne használja!
 Wersja przeterminowana. Niet gebruiken.
 Utdatert versjon. Nenaudokite.
 Versão obsoleta. Não utilize.
 Zastarana verzia. A nu se utiliza.
 Zastarela različica. Nie używać.
 Vanhentunut versio. Ne uporabite.
 Föråldrad version. Älä käytä.
 Güncel olmayan sürüm. Kullanmayın.

ESPECIFICAÇÃO DA MENSAGEM IDCO DO LATITUDE

CAPÍTULO 1

Este capítulo aborda os seguintes temas:

- “Especificação da mensagem IDCO do Latitude” na página 1-2
- “Estrutura dos segmentos” na página 1-2
- “Estrutura do segmento MSH” na página 1-2
- “Estrutura do segmento PID” na página 1-2
- “Estrutura do segmento PV1” na página 1-3
- “Estrutura do segmento PV2” na página 1-3
- “Estrutura do segmento OBR” na página 1-3
- “Estrutura do segmento OBX” na página 1-3
- “Parâmetros de produção” na página 1-4
- “Estrutura do segmento NTE” na página 1-4
- “Relatórios” na página 1-5
- “Termos de Base” na página 1-7

ESPECIFICAÇÃO DA MENSAGEM IDCO DO LATITUDE

A mensagem IDCO do LATITUDE é uma mensagem PCD-09 de acordo com o IHE PCD Technical Framework Revision 3.0 de 11 de outubro de 2013. Segundo o quadro técnico, a mensagem é uma mensagem padrão não solicitada de observações e pedidos do HL7 v2.6 contendo observações efetuadas pelo dispositivo implantado e codificadas utilizando a nomenclatura ISO/IEEE 11073-10103:2014 IDC. Esta norma internacional descreve um modelo universal de interoperabilidade dos dados eletrónicos médicos.

Os valores entre aspas que constam nas colunas de valores nas tabelas que se seguem indicam valores codificados que aparecerão sempre conforme apresentado. Os valores sem aspas indicam um exemplo ou uma descrição do valor.

ESTRUTURA DOS SEGMENTOS

Todos os dados enviados estão em conformidade com o PCD-09. As informações incluídas nesta secção visam definir a produção de mensagens IDCO da BSC. Não são exaustivas nem visam definir mais pormenorizadamente a nomenclatura IDCO.

ESTRUTURA DO SEGMENTO MSH

O segmento MSH contém informações sobre o emissor e o recetor da mensagem, o tipo de mensagem, um carimbo de data/hora, etc. É o primeiro segmento da mensagem IDCO.

NOME DO ELEMENTO	SEQ	SUB SEQ	VALOR
Aplicação de envio	3		"LATITUDE"
Instalação de envio	4		"BOSTON SCIENTIFIC"
Instalação de receção	6		Nome do centro LATITUDE
Conjunto de caracteres	18		"UNICODE UTF-8"

ESTRUTURA DO SEGMENTO PID

O segmento PID contém informações de identificador do paciente, como o nome, códigos de ID, código postal, etc. Estas informações são utilizadas para confirmação do paciente.

O LATITUDE permite aos centros (de forma opcional) adicionar as suas próprias ID de paciente ao sistema LATITUDE. A ID de paciente opcional está incluída na mensagem IDCO exportada. Se utilizadas, estas ID de paciente definidas pelo centro são apresentadas na lista do identificador do paciente (sequência 3) como texto depois de um til (-).

Identificador do paciente da IDCO padrão (primeiro identificador na lista)

NOME DO ELEMENTO	SEQ	SUB SEQ	VALOR
Identificador do paciente	3		
Autoridade competente	3	4	"BSX"

ID do paciente do Latitude (segundo identificador na lista)

NOME DO ELEMENTO	SEQ	SUB SEQ	VALOR
Lista do identificador do paciente	3		
Número de ID	3	1	ID do paciente do LATITUDE
Autoridade competente	3	4	Nome do centro LATITUDE
Código do tipo de identificador	3	5	"U"

Exemplo:

```
PID|1|model:N119/serial:123456^^^BSX^U~{ID do paciente do LATITUDE}
^^^{Nome do centro LATITUDE}^U||Último nome do paciente^Primeiro
nome do paciente ^^^^^||19550116|U|...
```

ESTRUTURA DO SEGMENTO PV1

O segmento PV1 (Visita do paciente) contém informações acerca do médico assistente do paciente.

NOME DO ELEMENTO	SEQ	SUB SEQ	VALOR
Classe de paciente	2		"R"

ESTRUTURA DO SEGMENTO PV2

O segmento PV2 (Visita do paciente 2) contém informações acerca do grupo LATITUDE do paciente.

NOME DO ELEMENTO	SEQ	SUB SEQ	VALOR
Nome da organização (grupo)	23	1	Nome do grupo LATITUDE Exemplo: Cardiologia
Número de ID (grupo de pacientes principal ou secundário)		3	1 Ver observação a

a. Este valor será "1" se o ficheiro HL7 estiver associado ao grupo LATITUDE principal e será "2" se estiver associado ao grupo LATITUDE secundário.

ESTRUTURA DO SEGMENTO OBR

Os segmentos OBR são os cabeçalhos de secção para os segmentos de informações referentes a interrogações OBX individuais. Contêm dados como carimbos de data/hora, identificador de relatórios e um identificador único gerado no sistema.

NOME DO ELEMENTO	SEQ	SUB SEQ	VALOR DE EXEMPLO
Identificador de serviço universal	4		
Identificador		1	754053
Texto		2	Ver observação a
N.º de data/hora da observação	7		20060429080005+0000 Ver observação b
Estado do resultado	25		"F" Ver observação c

- O texto do identificador de serviço universal terá o formato MDC_IDC_ENUM_SESS_TYPE_{tipo de sessão} (p. ex., MDC_IDC_ENUM_SESS_TYPE_RemoteScheduled).
- A data/hora da observação será o carimbo de data/hora de ocorrência da interrogação do dispositivo implantado. O carimbo de data/hora estará no fuso horário definido para o paciente.
- O estado do resultado será "F" (resultados finais).

ESTRUTURA DO SEGMENTO OBX

Os segmentos OBX contêm dados reunidos durante a interrogação mais recente do dispositivo.

NOME DO ELEMENTO	SEQ	SUB SEQ	VALOR
Estado do resultado da observação	11		"F" Ver observação a
Data/Hora da observação	14		20060317170000+0000 Ver observação b

- a. O estado do resultado será "F" (resultados finais).
b. A data da medição será incluída se a mesma diferir da data de observação no OBR.

PARÂMETROS DE PRODUÇÃO

- As cadeias serão enviadas no idioma configurado para o centro no LATITUDE.
- Os valores numéricos serão sempre enviados utilizando o ponto "." como o ponto de base (ou seja, ponto decimal).

ESTRUTURA DO SEGMENTO NTE

- Dispositivos ICM
 - Se houver uma condição de monitorização desativada, o respetivo NTE antecede um ou mais NTE de alerta. Um NTE de condição de monitorização desativada contém uma ou mais condições de monitorização desativada num NTE
 - Se houver um alerta de evento, haverá um NTE para cada contagem de alerta de evento. Exemplo:
NTE|3||2 alertas de evento vermelhos e 3 alertas de evento amarelos.
 - Se houver um alerta que não seja de evento, haverá um NTE para cada alerta.
- Dispositivos S-ICD
 - Se houver um aviso, um NTE de aviso precede todos os outros NTE. Um NTE de aviso contém um ou mais avisos num NTE.
 - Se não houve nenhum aviso e o dispositivo estiver num modo em que as definições não sejam relevantes (por exemplo, modo MRI), o primeiro NTE inclui informações sobre o atual estado do dispositivo. Exemplo:
NTE|1||O beeper está atualmente desativado.\.br\|.br\O dispositivo está no Modo de Proteção RM\.br\Hora de início: 4 set, 2015 00:45 CDT\.br\Agendado tempo limite: 4 set, 2015 06:45 CDT \.br\Depois de se sair do Modo de Proteção RM , a terapêutica será ativada.
 - Se não houve nenhum aviso e o dispositivo estiver num modo em que as definições sejam relevantes, o primeiro NTE inclui informações de definição num formato *rótulo:valor* com cada definição separada por uma quebra de linha (\.br\). Exemplo:
NTE|1||Configuração de deteção: Primário\.br\ Definição de ganho: 2X\.br\Estimulação pós-choque: LIGAR
 - Se o dispositivo estiver num modo em que as definições sejam relevantes mas o beeper estiver desativado, o primeiro NTE inclui informações de definição num formato *rótulo:valor* com cada definição separada por uma quebra de linha (\.br\). Exemplo:
NTE|1||Configuração de deteção: Primário\.br\ Definição de ganho: 2X\.br\Estimulação pós-choque: LIGAR

- O segundo NTE inclui o estado de beeper desativado.
- Se houver um alerta, haverá um NTE para cada alerta.
- Todos os outros dispositivos
 - Se houver um aviso, um NTE de aviso precede um ou mais NTE de alerta. Um NTE de aviso contém um ou mais avisos num NTE.
 - Se houver um alerta, haverá um NTE para cada alerta.

RELATÓRIOS

Configuração

O conteúdo da mensagem IDCO pode ser configurado através do website LATITUDE da seguinte forma:

Opção de configuração	LATITUDE NXT		LATITUDE Clarity
	Pacemaker, Desfibrilhador, CRT	S-ICD	ICM
Tamanho Máximo do Ficheiro de Saída	X	X	X
Quando Enviar Dados	X	X	X
Configuração do Relatório			
Incluir PDFs	X	X	X
PDFs Individuais ou Múltiplos	X	X	X
Que Relatórios devem ser incluídos			X
Histogramas e Tendências no Relatório de Acompanhamento			X
S-ECG relativo a Sintoma + Episódios detetados no dispositivo			X

- Tamanho Máximo do Ficheiro de Saída: O tamanho máximo do ficheiro da mensagem IDCO em MB; os PDFs de Detalhe do Evento não serão incluídos na mensagem se tal for necessário para manter o tamanho do ficheiro abaixo do limite máximo.
- Quando Enviar Dados:
 - LATITUDE NXT: Enviar dados no momento da chegada ou manualmente.
 - LATITUDE Clarity: Enviar dados no momento da chegada, manualmente ou na sequência de eliminação, individualmente por cada Razão (p. ex., marcado, iniciado pelo paciente, diariamente com alerta, etc.).
- Incluir PDFs: Incluir ou não incluir PDFs de relatório na mensagem.
 - PDFs Individuais ou Múltiplos: Se forem incluídos PDFs, combine todos os relatórios num só PDF ou envie-os como PDFs individuais.
- Que Relatórios devem ser incluídos: Quais são os relatórios possíveis (Seguimento, Apresentação de S-ECG, Detalhe do evento) que devem ser incluídos na mensagem.

- Histogramas e Tendências no Relatório de Acompanhamento: Determina se os histogramas e tendências serão incluídos nos Relatórios de Acompanhamento.
- S-ECG relativo a Sintoma + Episódios detetados no dispositivo: para sintoma + episódios detetados pelo dispositivo, inclua apenas o S-ECG detetado pelo dispositivo no PDF ou inclua todo o S-ECG combinado detetado pelo dispositivo e sintoma.

Os seguintes relatórios podem ser incluídos numa mensagem IDCO para as categorias de dispositivos implantáveis:

Tipo de relatório	LATITUDE NXT		LATITUDE Clarity
	Pacemaker, Desfibrilhador, CRT	S-ICD	ICM
Follow-up combinado	X		
Registo de arritmias	X	X	
Gestão de insuficiência cardíaca	X		
Resumo S-ICD		X	
Apresentação de EGM/S-ECG	X	X	X
Detalhe do evento	X	X	X
Acompanhamento			X

Apresentação de relatório EGM/S-ECG

Se disponível na carga recebida do dispositivo implantado, o Relatório EGM/S-ECG é anexado à mensagem em formato PDF. Se a configuração da mensagem IDCO estiver definida para enviar relatórios de PDF separados, o relatório de PDF é associado ao episódio APMRT utilizando a ID de grupo (OBX-4) para o episódio APMRT.

Relatório de detalhes do evento

Se um ou mais episódios estiverem presentes numa interrogação recebida do dispositivo implantado, um PDF do Relatório de detalhes do evento é enviado para cada episódio. Se a configuração da mensagem IDCO estiver definida para enviar relatórios de PDF separados, cada PDF é associado ao grupo de episódios adequado (MDC_IDC_EPISODE) utilizando a ID de grupo (OBX-4). Para limitar o tamanho do ficheiro EMR é o número de episódios incluídos na mensagem, um episódio poderá não ter sempre um PDF associado. Se o número dos PDF de episódios for limitado, o sistema tentará atingir um equilíbrio, assegurando que os PDF com prioridade mais alta e alguns tipos de episódio com prioridade mais baixa sejam incluídos. Se a configuração da mensagem IDCO estiver definida para enviar relatórios de PDF separados, o nome do episódio, incluindo a ID de episódio, será incluído na mensagem (ver a secção "Nomes de relatório na mensagem" neste documento para obter mais detalhes). Exemplo:

```
OBX|18|CWE|739568^MDC_IDC_EPISODE_TYPE^MDC|2|754883
^MDC_IDC_ENUM_EPISODE_TYPE_Epis_ATAF^MDC|||F
OBX|19|CWE|739600^MDC_IDC_EPISODE_VENDOR_TYPE^MDC|2|771078
^MDC_IDC_ENUM_EPISODE_VENDOR_TYPE_BSX-Epis_ATR^MDC|||F
OBX|20|NM|739616^MDC_IDC_EPISODE_ATRIAL_INTERVAL_AT_DETECTION
^MDC|2|247|ms|||F
OBX|21|NM|739712^MDC_IDC_EPISODE_DURATION^MDC|2|4|s|P||F
OBX|22|ED|18750-0^Relatório de eletrofisiologia cardíaca^LN
^^ATR-44 - Detalhe do evento
Relatório|2|Aplicação^PDF^^Base64^
{PDF codificado com base 64 aqui}|||||F|||201606010918-0500
```

OBSERVAÇÃO: Por exemplo, utilize o mesmo formato que o da secção "Nomes de relatório na mensagem".

Relatório de Seguimento Combinado

Um Relatório de seguimento combinado é anexado à mensagem em formato PDF.

Relatório do registo de arritmias

Um Relatório do registo de arritmias é anexado à mensagem em formato PDF.

Relatório de Gestão de insuficiência cardíaca

Um Relatório de Gestão de insuficiência cardíaca é anexado à mensagem em formato PDF.

Relatório de seguimento

Um Relatório de seguimento é anexado à mensagem em formato PDF.

Nomes de relatório na Mensagem

Cada segmento OBX incluirá o nome de relatório no OBX-3.5. Exemplo:

```
OBX|51|ED|18750-0^Relatório de eletrofisiologia cardíaca^LN^Relatório
de seguimento Combinado||Aplicação^PDF^Base64^{PDF codificado com base
64 aqui}|...
```

TERMOS DE BASE

A tabela que se segue enumera os termos de nomenclatura que podem ser incluídos numa mensagem IDCO da BSC.

ID DE REFERÊNCIAPREFIXO MDC IDC_	Nome apresentado
DEV	Dispositivo cardíaco implantável
_TYPE	Tipo de dispositivo cardíaco implantável
_MODEL	Modelo do dispositivo cardíaco implantável
_SERIAL	Número de série do dispositivo cardíaco implantável
_MFG	Fabricante do dispositivo cardíaco implantável
_IMPLANT_DT	Data de implante do dispositivo cardíaco implantável
_IMPLANTER	Implantador do dispositivo cardíaco implantável
_IMPLANTER_CONTACT_INFO	Informações de contacto do implantador do dispositivo cardíaco implantável
_IMPLANTING INSTALAÇÃO	Instalação de implantação do dispositivo cardíaco implantável
ELETRCATETER	Atributos do eletrocáteter implantável
_MODEL	Modelo do eletrocáteter implantável
_SERIAL	Número de série do eletrocáteter implantável
_MFG	Fabricante do eletrocáteter implantável
_IMPLANT_DT	Data de implante do eletrocáteter implantável
_POLARITY_TYPE	Tipo de polaridade do eletrocáteter implantável
_LOCATION	Localização do eletrocáteter implantável
_LOCATION_DETAIL_1	Detalhe 1 da localização do eletrocáteter implantável

SESS	Sessão de interrogação
_DTM	Data/Hora da sessão de interrogação
_TYPE	Tipo de sessão de interrogação
_CLINIC_NAME	Nome do centro
MSMT	Medições
_BATTERY	Medições da bateria
_DTM	Data/Hora das medições da bateria
_STATUS	Estado da bateria
_REMAINING_LONGEVITY	Longevidade restante da bateria
_REMAINING_PERCENTAGE	Porcentagem restante da bateria
CAP	Medições do condensador
_CHARGE_DTM	Data/Hora da última carga do condensador
_CHARGE_TIME	Tempo de carga do condensador
_CHARGE_TYPE	Tipo de carga do condensador
_CHARGE_ENERGY	Energia de carga
LEADCHNL_[CHAMBER]	Medições do canal do electrocateter
DTM_[STRTEND]	Data e hora das medições do canal do electrocateter
LEAD_CHANNEL_STATUS	Estado do canal do electrocateter
_SENSING	Medições de detecção do canal do electrocateter
_INTR_AMPL_[MMM]	Amplitude intrínseca de detecção do canal do electrocateter
_POLARITY	Polaridade de detecção do canal do electrocateter
_PACING_THRESHOLD	Medições do limiar de estimulação do canal do electrocateter
_AMPLITUDE	Amplitude do limiar de estimulação do canal do electrocateter
_PULSEWIDTH	Largura do impulso de limiar de estimulação do canal do electrocateter
_MEASUREMENT_METHOD	Método de medição do limiar de estimulação do canal do electrocateter
_POLARITY	Polaridade do limiar de estimulação do canal do electrocateter
_IMPEDANCE	Medições de impedância do canal do electrocateter
_VALUE	Valor de impedância do canal do electrocateter
_POLARITY	Polaridade de impedância do canal do electrocateter
_LEADHVCHNL	Medições do canal de alta tensão do electrocateter
DTM[STRTEND]	Data/Hora do canal de alta tensão do electrocateter

_IMPEDANCE	Impedância do canal de alta tensão do electrocateter
_MEASUREMENT_TYPE	Tipo de medição do canal de alta tensão do electrocateter
_STATUS	Estado do canal de alta tensão do electrocateter
SET	Definições
_CRT	Definições de CRT
_LVRV_DELAY	Intervalo VE-VD de CRT
_PACED_CHAMBERS	Câmaras ventriculares estimuladas durante a estimulação de CRT
_LEADCHNL [CHAMBER]	Definições do canal do electrocateter
_SENSING	Definições de detecção do canal do electrocateter
_SENSITIVITY	Definição da sensibilidade de detecção do canal do electrocateter
_POLARITY	Definição da polaridade de detecção do canal do electrocateter
_ANODE_LOCATION [1..3]	Definição da localização do ânodo de detecção do canal do electrocateter
_ANODE_ELECTRODE [1..3]	Definição do terminal do ânodo de detecção do canal do electrocateter
_CATHODE_LOCATION [1..3]	Definição da localização do cátodo de detecção do canal do electrocateter
_CATHODE_ELECTRODE [1..3]	Definição do terminal do cátodo de detecção do canal do electrocateter
_ADAPTATION_MODE	Definição do modo de adaptação de detecção do canal do electrocateter
_PACING	Definições de estimulação do canal do electrocateter
_AMPLITUDE	Definição da amplitude de estimulação do canal do electrocateter
_PULSEWIDTH	Definição da largura do impulso de estimulação do canal do electrocateter
_POLARITY	Definição da polaridade de estimulação do canal do electrocateter
_ANODE_LOCATION [1..3]	Definição da localização do ânodo de estimulação do canal do electrocateter
_ANODE_ELECTRODE [1..3]	Definição do terminal do ânodo de estimulação do canal do electrocateter
_CATHODE_LOCATION [1..3]	Definição da localização do cátodo de estimulação do canal do electrocateter
_CATHODE_ELECTRODE [1..3]	Definição do terminal do cátodo de estimulação do canal do electrocateter
_CAPTURE_MODE	Definição do modo de captura de estimulação do canal do electrocateter
_BRADY	Definições de Brady
_MODE	Definição do Modo Bradi (Código NBG)

_LOWRATE	Definição do limite inferior de frequência de bradi
_SENSOR_TYPE	Definição do tipo de sensor de bradi
_MAX_TRACKING_RATE	Definição da frequência máxima de condução de bradi
_MAX_SENSOR_RATE	Definição da frequência máxima do sensor de bradi
_SAV_DELAY_[HIGHLOW]	Definição do intervalo SAV de bradi
_PAV_DELAY_[HIGHLOW]	Definição do intervalo PAV de bradi
_AT_MODE_SWITCH_MODE	Definição do modo de mudança de modo de TA de bradi
_AT_MODE_SWITCH_RATE	Definição da frequência de mudança de modo de TA de bradi
_TACHYTHERAPY	Definições da terapêutica de taqui
_VSTAT	Definição do estado ventricular da terapêutica de taqui
_ZONE	Definições de zona
_TYPE	Definição da categoria de tipo de zona
_VENDOR_TYPE	Definição da categoria de tipo de fornecedor de zona
_STATUS	Definição do estado de zona
_DETECTION_INTERVAL	Definição do intervalo de detecção de zona
_DETECTION_DETAILS	Detalhes de detecção
_TYPE_ATP_[1..10]	Definição do tipo de ATP de zona
_NUM_ATP_SEQS_[1..10]	Definição do número de sequências de ATP de zona
_SHOCK_ENERGY_[1..10]	Definição da energia de choque de zona
_NUM_SHOCKS_[1..10]	Definição do número de choques de zona
STAT	Estatísticas
DTM[STRTEEND]	Estatísticas de data/hora
_BRADY	Estatísticas de Bradi
DTM[STRTEEND]	Estatísticas de data/hora de bradi
_RA_PERCENT_PACED	Estatísticas de percentagem de estimulação AD de bradi
_RV_PERCENT_PACED	Estatísticas de percentagem de estimulação VD de bradi
_AT	Estatísticas de taqui auricular
DTM[STRTEEND]	Estatísticas de data/hora de taqui auricular
_BURDEN_PERCENT	Estatísticas de percentagem de carga TA/FA de taqui auricular
_CRT	Estatísticas de CRT
DTM[STRTEEND]	Estatísticas de data/hora de CRT
_LV_PERCENT_PACED	Estatísticas de percentagem de estimulação VE de CRT
_TACHYTHERAPY	Estatísticas de terapêutica de taqui

_SHOCKS_DELIVERED_RECENT	Choques aplicados recentes
_RECENT_DTM_[STRTEND]	Data/Hora recente
_SHOCKS_DELIVERED_TOTAL	Choques aplicados totais
_TOTAL_DTM_[STRTEND]	Data/Hora total
_SHOCKS_ABORTED_RECENT	Choques abortados recentes
_SHOCKS_ABORTED_TOTAL	Choques abortados totais
_ATP_DELIVERED_RECENT	ATP administrada recente
_ATP_DELIVERED_TOTAL	ATP administrada total
EPISODE	Estatísticas de episódio
_TYPE	Estatísticas da categoria de tipo de episódio
_TYPE_INDUCED	Estatísticas do tipo de episódio induzido
_VENDOR_TYPE	Estatísticas da categoria de episódio de tipo de fornecedor
_RECENT_COUNT	Estatísticas da contagem recente de episódios
_RECENT_COUNT_DTM_[STRTEND]	Estatísticas da data/hora recente de episódios
TOTAL CONTAGEM	Contagem total
_TOTAL_COUNT_DTM_[STRTEND]	Data/Hora total
EPISÓDIO	Episódio
_ID	Identificador do episódio
_DTM	Data/Hora do episódio
_TYPE	Categoria de tipo de episódio
_TYPE_INDUCED	Sinalizador de episódio de tipo induzido
_VENDOR_TYPE	Categoria de episódio de tipo de fornecedor
_ATRIAL_INTERVAL_AT_DETECTION	Deteção do intervalo auricular do episódio
_VENTRICULAR_INTERVAL_AT_DETECTION	Deteção do intervalo ventricular do episódio
_DETECTION_THERAPY_DETAILS	Detalhes da terapêutica e deteção do episódio
_DURATION	Duração do episódio

Остаряла версия. Да не се използва.
Zastaralá verze. Nepoužívat.
Forældet version. Må ikke anvendes.
Version überholt. Nicht verwenden.
Aegunud versioón. Myn þyn Χρησιμοποιείτε.
Παλιά έκδοση. Μην την χρησιμοποιείτε.
Outdated version. Do not use.
Version périmée. Ne pas utiliser.
Zastarjela verzija. Nemojte upotrebljavati.
Úreлт útγάfa. Notið ekki.
Versione obsoleta. Non utilizzare.
Pasenusi versija. Neizmantot.
Elavult verzió. Ne használja!
Wersja przeterminowana. Niet gebruiken.
Dit is een verouderde versie. Niet gebruiken.
Utdatert versjon. Skal ikke brukes.
Versão obsoleta. Não utilize.
Zastaraná verzia. Nepoužívat.
Zastarela različica. A nu se utiliza.
Vanhentunut versio. Älä käytä.
Föråldrad version. Använd ej.
Güncel olmayan sürüm. Kullanmayın.

CONVERSÃO DE DADOS DO DISPOSITIVO IMPLANTADO EM MENSAGENS IDCO

CAPÍTULO 2

Este capítulo aborda os seguintes temas:

- “Estado da bateria” na página 2-2
- “SET_BRADY_SENSOR_TYPE” na página 2-2
- “Mapeamento do tipo de zona” na página 2-2
- “Mapeamento de episódios” na página 2-3
- “Mapeamento de contadores” na página 2-5
- “Mapeamento da configuração do eletrocáteter” na página 2-7
- “Limitações do sistema” na página 2-8
- “Definições de alertas e avisos” na página 2-8

ESTADO DA BATERIA

As enumerações para os parâmetros da bateria estão associadas ao estado da bateria da BSC como se segue:

ESTADO DA BATERIA DA BSC (Dispositivos ICM)	ESTADO DA BATERIA DA BSC (Dispositivos S-ICD)	ESTADO DA BATERIA DA BSC (Todos os outros dispositivos)	ESTADO DA BATERIA DA IDCO
OK	>10% restante para ERI	BOL	BOS
N/A	<= 10% restante para ERI	OY	MOS
RRT	ERI	ERI	RRT
EOL	EOL	EOL	EOS

Quando um dispositivo implantado introduz telemetria limitada, o seu estado da bateria pode ser ERI ou EOL. Estes estados da bateria resultarão na mesma mensagem: ENUM_BATTERY_STATUS_RRT (ERI) em MSMT_BATTERY_STATUS com o carimbo de data/hora ERI em MSMT_BATTERY_DTM. Esta condição aplica-se apenas à telemetria limitada e não se aplica aos dispositivos ICM ou S-ICD.

SET_BRADY_SENSOR_TYPE

O tipo de sensor será enviado conforme apresentado na tabela abaixo.

VALOR ENVIADO PARA A VARIÁVEL SET_BRADY_SENSOR_TYPE COM BASE NA CONFIGURAÇÃO DO DISPOSITIVO IMPLANTADO	DEFINIÇÃO DO DISPOSITIVO IMPLANTADO
"Acelerómetro"	Apenas acelerómetro
"Ventilação-minuto"	Apenas VM
"Acelerómetro + VM"	Acelerómetro e VM

Os valores acima apresentados só serão enviados se a frequência puder ser acionada pelo sensor (ou seja, não serão enviados se o sensor estiver num estado de monitorização exclusiva).

Os valores acima apresentados serão enviados se a frequência puder ser acionada no modo bradi normal ou em ATR (ou seja, o valor não reflecte apenas o modo bradi normal).

Importa notar que os relatórios podem apresentar "ATR Only" quando o modo ATR for um modo de resposta de frequência e o modo bradi normal for um modo sem resposta de frequência. Nesse caso, o texto (por ex., "Acelerómetro") continuará a ser enviado para o modo ATR. O utilizador pode observar o modo bradi e o modo ATR e determinar que a resposta de frequência é apenas para ATR.

MAPEAMENTO DO TIPO DE ZONA

As definições de zona serão enviadas conforme apresentado na tabela abaixo.

TIPO DE ZONA BSC	TIPO DE ZONA NORMATIVA IDCO	TIPO DE ZONA ESPECÍFICA DO FORNECEDOR DA IDCO	CÓDIGO DE ZONA ESPECÍFICA DO FORNECEDOR DA IDCO
VT	VT	BSX-Zone_VT	771137
VT-1	VT	BSX-Zone_VT-1	771138
VF	VF	BSX-Zone_VF	771139
Taqui	Para dispositivos SSI, se o eletrocater estiver em:	Ver observação a	Ver observação a

TIPO DE ZONA BSC	TIPO DE ZONA NORMATIVA IDCO	TIPO DE ZONA ESPECÍFICA DO FORNECEDOR DA IDCO	CÓDIGO DE ZONA ESPECÍFICA DO FORNECEDOR DA IDCO
	<ul style="list-style-type: none"> V - VT A - ATAF Não especificado - VT 		
Zona do Choque	VF	BSX-Zone_VF	771139
Zona do Choque Condicional	VT	BSX-Zone_VT	771137

a. O tipo de zona específico do fornecedor do OBX estará na mensagem com um valor de observação em branco.

Na revisão original da nomenclatura, alguns tipos de zona da Boston Scientific não têm enumerações específicas do fornecedor. Neste momento, as enumerações e códigos específicos do fornecedor foram reservadas. **Estes códigos estão reservados para utilização futura** e estão indicados abaixo para fornecer aos implementadores a oportunidade de incluir estes códigos no seu design.

TIPO DE ZONA BSC	TIPO DE ZONA NORMATIVA IDCO	TIPO DE ZONA ESPECÍFICA DO FORNECEDOR DA IDCO	CÓDIGO DE ZONA ESPECÍFICA DO FORNECEDOR DA IDCO
Zona do Choque	VF	BSX-Zone_Shock Zona	771144
Zona do Choque Condicional	VT	BSX-Zone_Cond Zona do choque	771145
Taqui	Para dispositivos SSI, se o eletrocatereter estiver em: <ul style="list-style-type: none"> V - VT A - ATAF Não especificado - VT 	BSX-Zone_Tachy	771146

MAPEAMENTO DE EPISÓDIOS

Os episódios, contadores, etc., serão enviados em função das informações contidas na interrogação. As mesmas informações serão enviadas inicialmente e num reenvio subsequente mesmo que existam interrogações pelo meio. Importa notar que a produção do EMR nem sempre corresponderá àquilo que é apresentado no relatório Quick Notes, uma vez que o Quick Notes apresenta episódios, alertas e contadores desde a última reinicialização. Os episódios são representados por uma combinação de tipos normativos e específicos de fornecedores. Alguns tipos de episódios da Boston Scientific não podem ser representados exclusivamente na nomenclatura IDCO actual.

ID DE EPISÓDIO DA BSC	TIPO DE EPISÓDIO DA BSC	TIPO DE EPISÓDIO NORMATIVO DA IDCO	TIPO DE EPISÓDIO ESPECÍFICO DO FORNECEDOR DA IDCO	TIPO DE EPISÓDIO ESPECÍFICO DO FORNECEDOR DA IDCO
V-x	VF	VF	BSX-Epis_VF	771073
V-x	VT	VT	BSX-Epis_VT	771074
V-x	VT (V>A)	VT	Ver observação a	Ver observação a
V-x	Taqui	Para dispositivos SSI, se o eletrocatereter estiver em: <ul style="list-style-type: none"> V - VT A - ATAF Não especificado - VT 	Ver observação a	Ver observação a
V-x	Não mant.	Para dispositivos SSI, se o eletrocatereter estiver em: <ul style="list-style-type: none"> V - VT A - ATAF 	Para A, em branco caso contrário BSX-Epis_NSVT	Para A, em branco caso contrário 771077

ID DE EPISÓDIO DA BSC	TIPO DE EPISÓDIO DA BSC	TIPO DE EPISÓDIO NORMATIVO DA IDCO	TIPO DE EPISÓDIO ESPECÍFICO DO FORNECEDOR DA IDCO	TIPO DE EPISÓDIO ESPECÍFICO DO FORNECEDOR DA IDCO
		• Não especificado - VT		
V-x	TSV (V≤A)	TSV	BSX-Epis_SVT	771076
V-x	VT-1	VT	BSX-Epis_VT-1	771075
RMS-x	RMS	Outro	BSX-Epis_RMS	771084
RYTHMIQ™-x	RYTHMIQ™	Outro	BSX-Epis_RMS	771084
ATR-x	ATR	ATAF	BSX-Epis_ATR	771078
PMT-x	PMT	Outro	BSX-Epis_PMT	771079
SBR-x	SBR	Outro	Ver observação a	Ver observação a
PTM-x	PTM	Ativado pelo paciente	BSX-Epis_PTM	771080
V-x	Cmd V	Outro	Ver observação a	Ver observação a
V-x	V não mant.	VT	BSX-Epis_NSVT	771077
APMRT-x	APM RT	EGM periódico	BSX-Epis_APMRT	771085
RVAT-x	VD Auto	Outro	Ver observação a	Ver observação a
RAAT-x	AD Auto	Outro	Ver observação a	Ver observação a
LVAT-x	VE automática	Outro	Ver observação a	Ver observação a
MRI-x	MRI	Outro	Ver observação a	Ver observação a
<número do episódio>	Tratado	VF	BSX-Epis_VF	771073
<número do episódio>	Não tratado	Outro	Ver observação a	Ver observação a
<número do episódio>	FA	ATAF	Ver observação a	Ver observação a
<número do episódio>	SMART Pass	Outro	Ver observação a	Ver observação a
SAM-x	MAS	Outro	Ver observação a	Ver observação a
B-x	Bradi	Outro	BSX-Epis_ICM_Brady	771096
P-x	Pausa	Outro	BSX-Epis_ICM_Pause	771097
FA-x	FA	ATAF	BSX-Epis_ICM_AF	771098
TA-x	TA	ATAF	BSX-Epis_ICM_AT	771099
T-x	Taqui	VT	BSX-Epis_ICM_Tachy	771100
T-x	Taqui (VT)	VT	BSX-Epis_ICM_TachyVT	771101
T-x	Tachy (TSV)	TSV	BSX-Epis_ICM_TachySVT	771102
T-x	Taqui (->VF)	VF	BSX-Epis_ICM_TachytoVF	771103

ID DE EPISÓDIO DA BSC	TIPO DE EPISÓDIO DA BSC	TIPO DE EPISÓDIO NORMATIVO DA IDCO	TIPO DE EPISÓDIO ESPECÍFICO DO FORNECEDOR DA IDCO	TIPO DE EPISÓDIO ESPECÍFICO DO FORNECEDOR DA IDCO
T-x	Taqui (VT->VF)	VF	BSX-Epis_ICM_TachyVTtoVF	771104
T-x	Taqui (TSV->VF)	VF	BSX-Epis_ICM_TachySVtoVF	771105
T-x	Taqui (VF)	VF	BSX-Epis_ICM_TachyVF	771106
PT-x	Sintoma	Ativado pelo paciente	BSX-Epis_ICM_Symptom	771107

a. O tipo de episódio específico do fornecedor do OBX estará na mensagem com um valor de observação em branco.

Na revisão original da nomenclatura, alguns tipos de episódios da Boston Scientific não têm enumerações específicas do fornecedor. Neste momento, as enumerações e códigos específicos do fornecedor foram reservadas. **Estes códigos estão reservados para utilização futura** e estão indicados abaixo para fornecer aos implementadores a oportunidade de incluir estes códigos no seu design.

ID DE EPISÓDIO DA BSC	TIPO DE EPISÓDIO DA BSC	TIPO DE EPISÓDIO NORMATIVO DA IDCO	TIPO DE EPISÓDIO ESPECÍFICO DO FORNECEDOR DA IDCO	TIPO DE EPISÓDIO ESPECÍFICO DO FORNECEDOR DA IDCO
V-x	Taqui	Para dispositivos SSI, se o eletrocatereter estiver em: <ul style="list-style-type: none"> V - VT A - ATAF Não especificado - VT 	BSX-Epis_Tachy	771086
SBR-x	SBR	Outro	BSX-Epis_SBR	771087
V-x	Cmd V	Outro	BSX-Epis_CmdV	771088
RVAT-x	VD Auto	Outro	BSX-Epis_RVAutoThresh	771089
RAAT-x	AD Auto	Outro	BSX-Epis_RAAutoThresh	771090
LVAT-x	VE automática	Outro	BSX-Epis_LVAutoThresh	771091
MRI-x	MRI	Outro	BSX-Epis_MRI	771092
<número do episódio>	Tratado	VF	BSX-Epis_SICD_Treated	771093
<número do episódio>	Não tratado	Outro	BSX-Epis_SICD_Untreated	771094
<número do episódio>	FA	ATAF	BSX-Epis_SICD_AF	771095
SAM-x	MAS	Outro	BSX-Epis_SAM	771115
V-x	VT (V>A)	VT	BSX-Epis_VT_VGrtrA	771116
V-x	TSV (V≤A)	TSV	BSX-Epis_SVT_NotVGrtrA	771117

MAPEAMENTO DE CONTADORES

Alguns contadores são somados antes do envio da mensagem. Isto deve-se ao facto de não ser atualmente possível representar todos os contadores da Boston Scientific na nomenclatura IDCO: Os valores dos contadores enviados serão os valores desde a última reinicialização.

CONTADOR DE EPISÓDIOS DA BSC	TIPO DE EPISÓDIO NORMATIVO DE ESTATÍSTICAS DA IDCO	TIPO DE EPISÓDIO ESPECÍFICO DO FORNECEDOR DE ESTATÍSTICAS DA IDCO	TIPO DE EPISÓDIO ESPECÍFICO DO FORNECEDOR DE ESTATÍSTICAS DA IDCO
Tratado	VF	BSX-Epis_VF	771073
Não tratado	Outro	Ver observação a	Ver observação a
VT (V>A)	VT	Ver observação a	Ver observação a
Taqui	Para dispositivos SSI, se o eletrocater estiver em: <ul style="list-style-type: none"> • V - VT • A - ATAF • Não especificado - VT 	Ver observação a	Ver observação a
Não mant.	Para dispositivos SSI, se o eletrocater estiver em: <ul style="list-style-type: none"> • V - VT • A - ATAF • Não especificado - VT 	BSX-Epis_NSVT	771077
V não mant.	VT	BSX-Epis_NSVT	771077
TSV (V ≤ A)	TSV	BSX-Epis_SVT	771076
ATR	ATAF	BSX-Epis_ATR	771078
MRI	Outro	Ver observação a	Ver observação a
VF	VF	BSX-Epis_VF	771073
VT	VT	BSX-Epis_VT	771074
VT-1	VT	BSX-Epis_VT-1	771075
Sem terapêutica programada	Monitor	Ver observação a	Ver observação a
Outros episódios não tratados	Outro	Ver observação a	Ver observação a
Bradi	Outro	BSX-Epis_ICM_Brady	771096
Pausa	Outro	BSX-Epis_ICM_Pause	771097
FA	ATAF	BSX-Epis_ICM_AF	771098
TA	ATAF	BSX-Epis_ICM_AT	771099
Taqui	VT	BSX-Epis_ICM_Tachy	771100
Sintoma	Ativado pelo paciente	BSX-Epis_ICM_Symptom	771107
Bradia com sintoma	Outro	BSX-Epis_ICM_Brady_Symptom	771108
Pausa com sintoma	Outro	BSX-Epis_ICM_Pause_Symptom	771109
FA com sintoma	ATAF	BSX-Epis_ICM_AF_Symptom	771110
TA com sintoma	ATAF	BSX-Epis_ICM_AT_Symptom	771111
Taqui com sintoma	VT	BSX-Epis_ICM_Tachy_Symptom	771112

a. A estatística do contador específico do fornecedor do OBX estará na mensagem com um valor de observação em branco.

Na revisão original da nomenclatura, alguns tipos de episódios da Boston Scientific não têm enumerações específicas do fornecedor. Neste momento, as enumerações e códigos específicos do fornecedor foram reservadas. **Estes códigos estão reservados para utilização futura** e estão indicados abaixo para fornecer aos implementadores a oportunidade de incluir estes códigos no seu design.

CONTADOR DE EPISÓDIOS DA BSC	TIPO DE EPISÓDIO NORMATIVO DE ESTATÍSTICAS DA IDCO	TIPO DE EPISÓDIO ESPECÍFICO DO FORNECEDOR DE ESTATÍSTICAS DA IDCO	TIPO DE EPISÓDIO ESPECÍFICO DO FORNECEDOR DE ESTATÍSTICAS DA IDCO
Taqui	Para dispositivos SSI, se o eletrocáteter estiver em: <ul style="list-style-type: none"> V – VT A – ATAF Não especificado – VT 	BSX-Epis_Tachy	771086
Terapêutica comandada	Outro	BSX-Epis_CmdV	771088
MRI	Outro	BSX-Epis_MRI	771092
Tratado	VF	BSX-Epis_SICD_Treated	771093
Não tratado	Outro	BSX-Epis_SICD_Untreated	771094
Sem terapêutica programada	Monitor	BSX-Epis_NoThpyEpsd	771113
Outros episódios não tratados	Outro	BSX-Epis_Other_Untreated	771114
VT (V>A)	VT	BSX-Epis_VT_VGrtrA	771116
TSV (V<= A)	TSV	BSX-Epis_SVT_NotVGrtrA	771117

MAPEAMENTO DA CONFIGURAÇÃO DO ELETROCATÉTER

A tabela abaixo mostra como a IDCO e a BSC definem eletrocáteteres com vários eletrodos. Esta tabela não pretende constituir uma lista exaustiva, incluindo apenas as enumerações que podem não ser óbvias.

As definições utilizadas pela BSC foram concebidas para serem consistentes com o Programador/Registador/ /Monitor (PRM) e o website LATITUDE.

NOME DOS ELÉTRÓDOS DA BSC	LOCALIZAÇÃO DOS ELÉTRÓDOS DA IDCO	NOME DOS ELÉTRÓDOS DA IDCO
Caixa	Outro	Caixa
PontaVE1	VE	Ponta
AnelVE2	VE	Anel1
AnelVE3	VE	Anel2
AnelVE4	VE	Anel3

MDC_IDC_ENUM_ELECTRODE_LOCATION (localização do cátodo/ânodo de detecção/estimulação) não inclui atualmente uma enumeração para a bolsa (ou seja, caixa). A localização será enviada como "outra" e o eléctrodo como "can".

O estado "check lead" (verificar electrocateter) indica um potencial problema do electrocateter; contudo, a ausência de um estado "check lead" não indica o bom funcionamento de um electrocateter. O estado "verificar electrocateter" será enviado se estiver presente algum dos indicadores de estado que se seguem:

- Dispositivos S-ICD

- Impedância de elétrodo alta
- Todos os outros dispositivos
 - Interruptor de segurança do eletrocater
 - Impedância fora dos valores normais
 - Amplitude fora dos valores normais
 - Impedância de choque baixa
 - Impedância de choque alta
 - Alta voltagem durante a carga

Para MSMT_LEADCHNL_[CHAMBER] (ou seja, medições do canal do eletrocater, como amplitude intrínseca, impedância do eletrocater, limiar de estimulação), só é possível um intervalo de carimbo de data/hora para todas as medições (ou seja, não é possível um intervalo por medição) na nomenclatura IDCO atual. Se os tempos de medição forem diferentes, será enviado um intervalo de carimbo de data/hora (ou seja, MIN, MAX) que inclua o tempo de todas as medições. Além disso, os valores que serão enviados serão valores IDCO MEAN de acordo com a nomenclatura IDCO. Contudo, os valores são medições únicas e não valores médios no intervalo de carimbo de data/hora.

LIMITAÇÕES DO SISTEMA

- A energia específica de taqui e de câmara é o mais precisa possível. Contudo, em alguns casos, a importância de envio dos dados e o facto de a IDCO não poder representar determinados parâmetros garantem na mesma o envio dos dados. Por exemplo, as informações relativas à zona VT são enviadas como se os dispositivos de bradi tivessem uma zona VT.
- Para os dispositivos que não têm o limiar automático de estimulação (função Limiar automático), será enviada a última medição de limiar realizada no consultório.
- O relato e as notificações de alertas corretos dos dados do dispositivo implantado pelo sistema LATITUDE NXT dependem da correta programação do relógio do dispositivo implantado com um Programador/Registador/Monitor (PRM). O relato correto pode continuar a ter repercussões durante algum tempo após a correta programação do relógio do dispositivo implantado, de acordo com a quantidade de dados recebida com informações de tempo incorreta e a diferença de tempo do erro do relógio do dispositivo implantado.
- As cadeias serão enviadas no idioma configurado para o centro no LATITUDE.

DEFINIÇÕES DE ALERTAS E AVISOS

As mensagens de aviso e alerta são incluídas na mensagem como observações que podem ou não ser apresentadas num EMR. Um aviso ou alerta é incluído na mensagem se os dados que foram carregados a partir do dispositivo implantado tiverem acionado o aviso ou alerta.

EXEMPLO DE FICHEIROS IDCO

CAPÍTULO 3

Este capítulo aborda os seguintes temas:

- “Exemplo de Ficheiros IDCO” na página 3-2
- “Mensagem De Exemplo 1 – Dispositivo S-ICD” na página 3-2
- “Mensagem de exemplo 2 – Dispositivo ICM” na página 3-3
- “Mensagem de exemplo 3 – Outros dispositivo de terapêutica (não S-ICD)” na página 3-7

Остаряла версия. Да не се използва.
Zastaralá verze. Nepoužívat.
Forældet version. Må ikke anvendes.
Version überholt. Nicht verwenden.
Version obsolete. Ärge kasutage.
Παλιά έκδοση. Μην την χρησιμοποιείτε.
Outdated version. Do not use.
Version périmée. Ne pas utiliser.
Zastarjela verzija. Nemojte upotrebljavati.
Úreлт útгáфа. Notið ekki.
Versione obsoleta. Non utilizzare.
Pasenusi versija. Neizmantot.
Elavult verzió. Ne használja!
Dit is een verouderde versie. Niet gebruiken.
Wersja przeterminowana. Nie używać.
Versão obsoleta. Não utilize.
Zastaraná verzia. Nepoužívať.
Zastarela različica. A nu se utiliza.
Vanhentunut versio. Älä käytä.
Föråldrad version. Använd ej.
Güncel olmayan sürüm. Kullanmayın.


```

ZONE_VENDOR_TYPE_BSX-Zone_VF^MDC|||||F
OBX|29|CWE|731776^MDC_IDC_SET_ZONE_STATUS^MDC|1|755009^MDC_IDC_ENUM_
ZONE_STATUS_Active^MDC|||||F
OBX|30|NM|731840^MDC_IDC_SET_ZONE_DETECTION_INTERVAL^MDC|1|273|ms|||||F
OBX|31|NM|732225^MDC_IDC_SET_ZONE_SHOCK_ENERGY_1^MDC|1|80|J|||||F
OBX|32|CWE|731648^MDC_IDC_SET_ZONE_TYPE^MDC|1|754946^MDC_IDC_ENUM_
ZONE_TYPE_Zone_VT^MDC|||||F
OBX|33|CWE|731712^MDC_IDC_SET_ZONE_VENDOR_TYPE^MDC|2|771137^MDC_IDC_ENUM_
ZONE_VENDOR_TYPE_BSX-Zone_VT^MDC|||||F
OBX|34|CWE|731776^MDC_IDC_SET_ZONE_STATUS^MDC|2|755009^MDC_IDC_ENUM_
ZONE_STATUS_Active^MDC|||||F
OBX|35|NM|731840^MDC_IDC_SET_ZONE_DETECTION_INTERVAL^MDC|2|300|ms|||||F
OBX|36|ST|732032^MDC_IDC_SET_ZONE_DETECTION_DETAILS^MDC|2|Carga SMART:
204,69 s (133 intervalos)|||||F
OBX|37|NM|732225^MDC_IDC_SET_ZONE_SHOCK_ENERGY_1^MDC|2|80|J|||||F
OBX|38|CWE|737952^MDC_IDC_STAT_EPISODE_TYPE^MDC|1|754888^MDC_IDC_ENUM_
EPISODE_TYPE_Epis_Other^MDC|||||F
OBX|39|CWE|737984^MDC_IDC_STAT_EPISODE_VENDOR_TYPE^MDC|1|||||F
OBX|40|NM|738000^MDC_IDC_STAT_EPISODE_RECENT_COUNT^MDC|1|1|||||F
OBX|41|DTM|738017^MDC_IDC_STAT_EPISODE_RECENT_COUNT_DTM_START^MDC|1|20150126|||||F
OBX|42|DTM|738018^MDC_IDC_STAT_EPISODE_RECENT_COUNT_DTM_END^MDC|1|20150126|||||F
OBX|43|NM|738032^MDC_IDC_STAT_EPISODE_TOTAL_COUNT^MDC|1|1|||||F
OBX|44|DTM|738049^MDC_IDC_STAT_EPISODE_TOTAL_COUNT_DTM_START^MDC|1|20150126|||||F
OBX|45|DTM|738050^MDC_IDC_STAT_EPISODE_TOTAL_COUNT_DTM_END^MDC|1|20150126|||||F
OBX|46|CWE|737952^MDC_IDC_STAT_EPISODE_TYPE^MDC|2|754881^MDC_IDC_ENUM_
EPISODE_TYPE_Epis_VF^MDC|||||F
OBX|47|CWE|737984^MDC_IDC_STAT_EPISODE_VENDOR_TYPE^MDC|2|771073^MDC_IDC_ENUM_
EPISODE_VENDOR_TYPE_BSX-Epis_VF^MDC|||||F
OBX|48|NM|738000^MDC_IDC_STAT_EPISODE_RECENT_COUNT^MDC|2|1|||||F
OBX|49|DTM|738017^MDC_IDC_STAT_EPISODE_RECENT_COUNT_DTM_START^MDC|2|20150126|||||F
OBX|50|DTM|738018^MDC_IDC_STAT_EPISODE_RECENT_COUNT_DTM_END^MDC|2|20150126|||||F
OBX|51|NM|738032^MDC_IDC_STAT_EPISODE_TOTAL_COUNT^MDC|2|1|||||F
OBX|52|DTM|738049^MDC_IDC_STAT_EPISODE_TOTAL_COUNT_DTM_START^MDC|2|20150126|||||F
OBX|53|DTM|738050^MDC_IDC_STAT_EPISODE_TOTAL_COUNT_DTM_END^MDC|2|20150126|||||F
OBX|54|DTM|737937^MDC_IDC_STAT_TACHYTHERAPY_RECENT_DTM_START^MDC||20150126|||||F
OBX|55|DTM|737938^MDC_IDC_STAT_TACHYTHERAPY_RECENT_DTM_END^MDC||20150126|||||F
OBX|56|NM|737824^MDC_IDC_STAT_TACHYTHERAPY_SHOCKS_DELIVERED_RECENT^MDC||1|||||F
OBX|57|DTM|737921^MDC_IDC_STAT_TACHYTHERAPY_TOTAL_DTM_START^MDC||20150126|||||F
OBX|58|DTM|737922^MDC_IDC_STAT_TACHYTHERAPY_TOTAL_DTM_END^MDC||20150126|||||F
OBX|59|NM|737840^MDC_IDC_STAT_TACHYTHERAPY_SHOCKS_DELIVERED_TOTAL^MDC||1|||||F
OBX|60|ST|720961^MDC_IDC_LEAD_MODEL^MDC|1|1030|||||F
OBX|61|ST|720962^MDC_IDC_LEAD_SERIAL^MDC|1|A123456|||||F
OBX|62|CWE|720963^MDC_IDC_LEAD_MFG^MDC|1|753732^MDC_IDC_ENUM_MFG_BSX^MDC|||||F
OBX|63|CWE|720966^MDC_IDC_LEAD_LOCATION^MDC|1|753861^MDC_IDC_ENUM_
LEAD_LOCATION_CHAMBER_OTHER^MDC|||||F
OBX|64|CWE|720967^MDC_IDC_LEAD_LOCATION_DETAIL_1^MDC|1|753944^MDC_IDC_ENUM_
LEAD_LOCATION_DETAIL_Subcutaneous^MDC|||||F
OBX|65|ED|18750-0^Cardiac Electrophysiology Report^LN^Relatório do sumário||
Application^PDF^Base64^{PDF aqui codificado}|||||F
|||201501260412-0600OBX|66|ED|18750-0^Cardiac Electrophysiology Report^LN^
Relatório do Registo de arritmias ||Application^PDF^Base64^{PDF aqui codificado}|||||F
|||201501260412-0600OBX|67|ED|18750-0^Cardiac Electrophysiology Report^LN^
Apresentação de relatório S-ECG||Application^PDF^Base64^{PDF aqui codificado}|||||F
|||201501260412-0600
    
```

MENSAGEM DE EXEMPLO 2 – DISPOSITIVO ICM

```

MSH|^~\&|LATITUDE|BOSTON SCIENTIFIC||Desenvolvimento de Sistemas BSC
|201908061647+0000||ORU^R01^ORU_R01|100000503|P|2.6|||||
    
```

```

UNICODE UTF-8|en^English||IHE_PCD_009^IHE_PCD^1.3.6.1.4.1.19376.1.6.1.9.1^ISO
PID|1||model:M301/serial:555113^^^BSX^U~101^^^Desenvolvimento de Sistemas BSC^U||
Brown^Jesse||19500101|
FPV1||R
PV2|||||||||||||||||Desenvolvimento de Sistemas BSC^^1
OBR|1||1000000501|754054^MDC_IDC_ENUM_SESS_TYPE_RemotePatientInitiated
^MDC||201908051529-0500|||||||||||||F
NTE|1||2 alteras de evento vermelhos e 1 alerta de evento amarelo
OBX|1|DTM|721025^MDC_IDC_SESS_DTM^MDC||201908051529-0500|||||F
OBX|2|CWE|721026^MDC_IDC_SESS_TYPE^MDC||754054^MDC_IDC_ENUM_SESS_TYPE_
RemotePatientInitiated^MDC|||||F
OBX|3|ST|721033^MDC_IDC_SESS_CLINIC_NAME^MDC||Desenvolvimento de Sistemas BSC|||||F
OBX|4|CWE|720897^MDC_IDC_DEV_TYPE^MDC||753669^MDC_IDC_ENUM_DEV_TYPE_Monitor^MDC|||||F
OBX|5|ST|720898^MDC_IDC_DEV_MODEL^MDC||M301|||||F
OBX|6|ST|720899^MDC_IDC_DEV_SERIAL^MDC||555113|||||F
OBX|7|CWE|720900^MDC_IDC_DEV_MFG^MDC||753732^MDC_IDC_ENUM_MFG_BSX^MDC|||||F
OBX|8|DTM|720901^MDC_IDC_DEV_IMPLANT_DT^MDC||20190805|||||F
OBX|9|DTM|721216^MDC_IDC_MSMT_BATTERY_DTM^MDC||201908051529-0500|||||F
OBX|10|CWE|721280^MDC_IDC_MSMT_BATTERY_STATUS^MDC||754113^MDC_IDC_ENUM_
BATTERY_STATUS_BOS^MDC||1|||F
OBX|11|ST|739536^MDC_IDC_EPISODE_ID^MDC|1|APM-1|||||F
OBX|12|DTM|739552^MDC_IDC_EPISODE_DTM^MDC|1|201908051528-0500|||||F
OBX|13|CWE|739568^MDC_IDC_EPISODE_TYPE^MDC|1|754886^MDC_IDC_ENUM_
EPISODE_TYPE_Epis_PeriodicEGM^MDC|||||F
OBX|14|CWE|739600^MDC_IDC_EPISODE_VENDOR_TYPE^MDC|1|771085^MDC_IDC_ENUM_
EPISODE_VENDOR_TYPE_BSX-Epis_APMRT^MDC|1|||F
OBX|15|ST|739680^MDC_IDC_EPISODE_DETECTION_THERAPY_DETAILS^MDC|1|Frequência média=66|||||F
OBX|16|ST|739536^MDC_IDC_EPISODE_ID^MDC|2|AF-1|||||F
OBX|17|DTM|739552^MDC_IDC_EPISODE_DTM^MDC|2|201908051523-0500|||||F
OBX|18|CWE|739568^MDC_IDC_EPISODE_TYPE^MDC|2|754883^MDC_IDC_ENUM_
EPISODE_TYPE_Epis_ATA^MDC|||||F
OBX|19|CWE|739600^MDC_IDC_EPISODE_VENDOR_TYPE^MDC|2|771098^MDC_IDC_
ENUM_EPISODE_VENDOR_TYPE_BSX-Epis_ICM_AF^MDC|1|||F
OBX|20|ST|739680^MDC_IDC_EPISODE_DETECTION_THERAPY_DETAILS^MDC|2|Em curso|||||F
OBX|21|ED|18750-0^Relatório de eletrofisiologia cardíaca^LN^^AF-1 -
Relatório de detalhes do evento|2|Aplicação^PDF^^Base64^{PDF codificado
incluído aqui}|||||F||201908051529-0500
OBX|22|ST|739536^MDC_IDC_EPISODE_ID^MDC|3|B-1|||||F
OBX|23|DTM|739552^MDC_IDC_EPISODE_DTM^MDC|3|201908051508-0500|||||F
OBX|24|CWE|739568^MDC_IDC_EPISODE_TYPE^MDC|3|754888^MDC_IDC_ENUM_
EPISODE_TYPE_Epis_Other^MDC|||||F
OBX|25|CWE|739600^MDC_IDC_EPISODE_VENDOR_TYPE^MDC|3|771096^MDC_IDC_ENUM_
EPISODE_VENDOR_TYPE_BSX-Epis_ICM_Brady^MDC|||||F
OBX|26|NM|739712^MDC_IDC_EPISODE_DURATION^MDC|3|7|s|||||F
OBX|27|ST|739680^MDC_IDC_EPISODE_DETECTION_THERAPY_DETAILS^MDC|3|
Frequência média=38|||||F
OBX|28|ED|18750-0^Relatório de eletrofisiologia cardíaca^LN^^B-1 -
Relatório de detalhes do evento|3|Aplicação^PDF^^Base64^{PDF codificado
incluído aqui}|||||F||201908051529-0500
OBX|29|ST|739536^MDC_IDC_EPISODE_ID^MDC|4|P-1|||||F
OBX|30|DTM|739552^MDC_IDC_EPISODE_DTM^MDC|4|201908051429-0500|||||F
OBX|31|CWE|739568^MDC_IDC_EPISODE_TYPE^MDC|4|754888^MDC_IDC_ENUM_
EPISODE_TYPE_Epis_Other^MDC|||||F
OBX|32|CWE|739600^MDC_IDC_EPISODE_VENDOR_TYPE^MDC|4|771097^MDC_IDC_ENUM_
EPISODE_VENDOR_TYPE_BSX-Epis_ICM_Pause^MDC|||||F
OBX|33|NM|739712^MDC_IDC_EPISODE_DURATION^MDC|4|3|s|||||F
OBX|34|ED|18750-0^Relatório de eletrofisiologia cardíaca^LN^^P-1 -
Relatório de detalhes do evento|4|Aplicação^PDF^^Base64^{PDF codificado
incluído aqui}|||||F||201908051529-0500

```

OBX|35|ST|739536^MDC_IDC_EPISODE_ID^MDC|5|AT-1|||||F
OBX|36|DTM|739552^MDC_IDC_EPISODE_DTM^MDC|5|201908051419-0500|||||F
OBX|37|CWE|739568^MDC_IDC_EPISODE_TYPE^MDC|5|754883^MDC_IDC_ENUM_
EPISODE_TYPE_Epis_ATAF^MDC|||||F
OBX|38|CWE|739600^MDC_IDC_EPISODE_VENDOR_TYPE^MDC|5|771099^MDC_IDC_ENUM_
EPISODE_VENDOR_TYPE_BSX-Epis_ICM_AT^MDC|||||FOBX|39|NM|739712^MDC_IDC_
EPISODE_DURATION^MDC|5|360|s|||||F
OBX|40|ST|739680^MDC_IDC_EPISODE_DETECTION_THERAPY_DETAILS
^MDC|5|Frequência média=130|||||F
OBX|41|ED|18750-0^Relatório de eletrofisiologia cardíaca^LN^^AT-1 -
Relatório de detalhes do evento|5|Aplicação^PDF^^Base64^{PDF codificado
incluído aqui}|||||F|||201908051529-0500
OBX|42|ST|739536^MDC_IDC_EPISODE_ID^MDC|6|T-1|||||F
OBX|43|DTM|739552^MDC_IDC_EPISODE_DTM^MDC|6|201908051413-0500|||||F
OBX|44|CWE|739568^MDC_IDC_EPISODE_TYPE^MDC|6|754882^MDC_IDC_ENUM_
EPISODE_TYPE_Epis_VT^MDC|||||F
OBX|45|CWE|739600^MDC_IDC_EPISODE_VENDOR_TYPE^MDC|6|771100^MDC_IDC_ENUM_
EPISODE_VENDOR_TYPE_BSX-Epis_ICM_Tachy^MDC|||||FOBX|46|NM|739712
^MDC_IDC_EPISODE_DURATION^MDC|6|24|s|||||F
OBX|47|ST|739680^MDC_IDC_EPISODE_DETECTION_THERAPY_DETAILS
^MDC|6|Sintoma; Frequência média=207, Frequência máxima=225; Sentado; Tonturas|||||F
OBX|48|ED|18750-0^Relatório de eletrofisiologia cardíaca^LN^^T-1 -
Relatório de detalhes do evento|6|Aplicação^PDF^^Base64^{PDF codificado
incluído aqui}|||||F|||201908051529-0500
OBX|49|ST|739536^MDC_IDC_EPISODE_ID^MDC|7|PT-1|||||F
OBX|50|DTM|739552^MDC_IDC_EPISODE_DTM^MDC|7|201908051409-0500|||||F
OBX|51|CWE|739568^MDC_IDC_EPISODE_TYPE^MDC|7|754887^MDC_IDC_ENUM_
EPISODE_TYPE_Epis_PatientActivated^MDC|||||F
OBX|52|CWE|739600^MDC_IDC_EPISODE_VENDOR_TYPE^MDC|7|771107^MDC_IDC_ENUM_
EPISODE_VENDOR_TYPE_BSX-Epis_ICM_Symptom^MDC|||||F
OBX|53|NM|739712^MDC_IDC_EPISODE_DURATION^MDC|7|290|s|||||F
OBX|54|ST|739680^MDC_IDC_EPISODE_DETECTION_THERAPY_DETAILS
^MDC|7|Ativo; Batimento cardíaco acelerado, Falta de ar|||||F
OBX|55|ED|18750-0^Relatório de eletrofisiologia cardíaca^LN^^PT-1 -
Relatório de detalhes do evento|7|Aplicação^PDF^^Base64^{PDF codificado
incluído aqui}|||||F|||201908051529-0500
OBX|56|DTM|737489^MDC_IDC_STAT_DTM_START^MDC|1|20190805|||||F
OBX|57|DTM|737490^MDC_IDC_STAT_DTM_END^MDC|1|20190805|||||F
OBX|58|CWE|737952^MDC_IDC_STAT_EPISODE_TYPE^MDC|1|754888^MDC_IDC_ENUM_
EPISODE_TYPE_Epis_Other^MDC|||||F
OBX|59|CWE|737984^MDC_IDC_STAT_EPISODE_VENDOR_TYPE^MDC|1|771096^MDC_IDC_ENUM_
EPISODE_VENDOR_TYPE_BSX-Epis_ICM_Brady^MDC|||||F
OBX|60|NM|738000^MDC_IDC_STAT_EPISODE_RECENT_COUNT
^MDC|1|1|||||F
OBX|61|DTM|738017^MDC_IDC_STAT_EPISODE_RECENT_COUNT_DTM_START
^MDC|1|20190805|||||F
OBX|62|DTM|738018^MDC_IDC_STAT_EPISODE_RECENT_COUNT_DTM_END
^MDC|1|20190805|||||F
OBX|63|NM|738032^MDC_IDC_STAT_EPISODE_TOTAL_COUNT^MDC|1|1|||||F
OBX|64|DTM|738049^MDC_IDC_STAT_EPISODE_TOTAL_COUNT_DTM_START
^MDC|1|20190805|||||F
OBX|65|DTM|738050^MDC_IDC_STAT_EPISODE_TOTAL_COUNT_DTM_END^MDC|1|20190805|||||F
OBX|66|CWE|737952^MDC_IDC_STAT_EPISODE_TYPE^MDC|2|754882^MDC_IDC_ENUM_
EPISODE_TYPE_Epis_VT^MDC|||||F
OBX|67|CWE|737984^MDC_IDC_STAT_EPISODE_VENDOR_TYPE^MDC|2|771100^MDC_IDC_ENUM_
EPISODE_VENDOR_TYPE_BSX-Epis_ICM_Tachy^MDC|||||F
OBX|68|NM|738000^MDC_IDC_STAT_EPISODE_RECENT_COUNT^MDC|2|1|||||F
OBX|69|DTM|738017^MDC_IDC_STAT_EPISODE_RECENT_COUNT_DTM_START^MDC|2|20190805|||||F
OBX|70|DTM|738018^MDC_IDC_STAT_EPISODE_RECENT_COUNT_DTM_END^MDC|2|20190805|||||F

OBX|71|NM|738032^MDC_IDC_STAT_EPISODE_TOTAL_COUNT^MDC|2|1|||||F
OBX|72|DTM|738049^MDC_IDC_STAT_EPISODE_TOTAL_COUNT_DTM_START^MDC|2|20190805|||||F
OBX|73|DTM|738050^MDC_IDC_STAT_EPISODE_TOTAL_COUNT_DTM_END^MDC|2|20190805|||||F
OBX|74|CWE|737952^MDC_IDC_STAT_EPISODE_TYPE^MDC|3|754883^MDC_IDC_ENUM_
EPISODE_TYPE_Epis_ATAF^MDC|||||F
OBX|75|CWE|737984^MDC_IDC_STAT_EPISODE_VENDOR_TYPE^MDC|3|771099^MDC_IDC_ENUM_
EPISODE_VENDOR_TYPE_BSX-Epis_ICM_AT^MDC|||||F
OBX|76|NM|738000^MDC_IDC_STAT_EPISODE_RECENT_COUNT^MDC|3|1|||||F
OBX|77|DTM|738017^MDC_IDC_STAT_EPISODE_RECENT_COUNT_DTM_START^MDC|3|20190805|||||F
OBX|78|DTM|738018^MDC_IDC_STAT_EPISODE_RECENT_COUNT_DTM_END^MDC|3|20190805|||||F
OBX|79|NM|738032^MDC_IDC_STAT_EPISODE_TOTAL_COUNT^MDC|3|1|||||F
OBX|80|DTM|738049^MDC_IDC_STAT_EPISODE_TOTAL_COUNT_DTM_START^MDC|3|20190805|||||F
OBX|81|DTM|738050^MDC_IDC_STAT_EPISODE_TOTAL_COUNT_DTM_END^MDC|3|20190805|||||F
OBX|82|CWE|737952^MDC_IDC_STAT_EPISODE_TYPE^MDC|4|754883^MDC_IDC_ENUM_
EPISODE_TYPE_Epis_ATAF^MDC|||||F
OBX|83|CWE|737984^MDC_IDC_STAT_EPISODE_VENDOR_TYPE^MDC|4|771098^MDC_IDC_ENUM_
EPISODE_VENDOR_TYPE_BSX-Epis_ICM_AF^MDC|||||F
OBX|84|NM|738000^MDC_IDC_STAT_EPISODE_RECENT_COUNT^MDC|4|1|||||F
OBX|85|DTM|738017^MDC_IDC_STAT_EPISODE_RECENT_COUNT_DTM_START^MDC|4|20190805|||||F
OBX|86|DTM|738018^MDC_IDC_STAT_EPISODE_RECENT_COUNT_DTM_END^MDC|4|20190805|||||F
OBX|87|NM|738032^MDC_IDC_STAT_EPISODE_TOTAL_COUNT^MDC|4|1|||||F
OBX|88|DTM|738049^MDC_IDC_STAT_EPISODE_TOTAL_COUNT_DTM_START^MDC|4|20190805|||||F
OBX|89|DTM|738050^MDC_IDC_STAT_EPISODE_TOTAL_COUNT_DTM_END^MDC|4|20190805|||||F
OBX|90|CWE|737952^MDC_IDC_STAT_EPISODE_TYPE^MDC|5|754888^MDC_IDC_ENUM_
EPISODE_TYPE_Epis_Other^MDC|||||F
OBX|91|CWE|737984^MDC_IDC_STAT_EPISODE_VENDOR_TYPE^MDC|5|771097^MDC_IDC_ENUM_
EPISODE_VENDOR_TYPE_BSX-Epis_ICM_Pause^MDC|||||F
OBX|92|NM|738000^MDC_IDC_STAT_EPISODE_RECENT_COUNT^MDC|5|1|||||F
OBX|93|DTM|738017^MDC_IDC_STAT_EPISODE_RECENT_COUNT_DTM_START^MDC|5|20190805|||||F
OBX|94|DTM|738018^MDC_IDC_STAT_EPISODE_RECENT_COUNT_DTM_END^MDC|5|20190805|||||F
OBX|95|NM|738032^MDC_IDC_STAT_EPISODE_TOTAL_COUNT^MDC|5|1|||||F
OBX|96|DTM|738049^MDC_IDC_STAT_EPISODE_TOTAL_COUNT_DTM_START^MDC|5|20190805|||||F
OBX|97|DTM|738050^MDC_IDC_STAT_EPISODE_TOTAL_COUNT_DTM_END^MDC|5|20190805|||||F
OBX|98|CWE|737952^MDC_IDC_STAT_EPISODE_TYPE^MDC|6|754887^MDC_IDC_ENUM_
EPISODE_TYPE_Epis_PatientActivated^MDC|||||F
OBX|99|CWE|737984^MDC_IDC_STAT_EPISODE_VENDOR_TYPE^MDC|6|771107^MDC_IDC_ENUM_
EPISODE_VENDOR_TYPE_BSX-Epis_ICM_Symptom^MDC|||||F
OBX|100|NM|738000^MDC_IDC_STAT_EPISODE_RECENT_COUNT^MDC|6|2|||||F
OBX|101|DTM|738017^MDC_IDC_STAT_EPISODE_RECENT_COUNT_DTM_START^MDC|6|20190805|||||F
OBX|102|DTM|738018^MDC_IDC_STAT_EPISODE_RECENT_COUNT_DTM_END^MDC|6|20190805|||||F
OBX|103|NM|738032^MDC_IDC_STAT_EPISODE_TOTAL_COUNT^MDC|6|2|||||F
OBX|104|DTM|738049^MDC_IDC_STAT_EPISODE_TOTAL_COUNT_DTM_START^MDC|6|20190805|||||F
OBX|105|DTM|738050^MDC_IDC_STAT_EPISODE_TOTAL_COUNT_DTM_END^MDC|6|20190805|||||F
OBX|106|CWE|737952^MDC_IDC_STAT_EPISODE_TYPE^MDC|7|754882^MDC_IDC_ENUM_
EPISODE_TYPE_Epis_VT^MDC|||||F
OBX|107|CWE|737984^MDC_IDC_STAT_EPISODE_VENDOR_TYPE^MDC|7|771112^MDC_IDC_ENUM_
EPISODE_VENDOR_TYPE_BSX-Epis_ICM_Tachy_Symptom^MDC|||||F
OBX|108|NM|738000^MDC_IDC_STAT_EPISODE_RECENT_COUNT^MDC|7|1|||||F
OBX|109|DTM|738017^MDC_IDC_STAT_EPISODE_RECENT_COUNT_DTM_START^MDC|7|20190805|||||F
OBX|110|DTM|738018^MDC_IDC_STAT_EPISODE_RECENT_COUNT_DTM_END^MDC|7|20190805|||||F
OBX|111|NM|738032^MDC_IDC_STAT_EPISODE_TOTAL_COUNT^MDC|7|1|||||F
OBX|112|DTM|738049^MDC_IDC_STAT_EPISODE_TOTAL_COUNT_DTM_START^MDC|7|20190805|||||F
OBX|113|DTM|738050^MDC_IDC_STAT_EPISODE_TOTAL_COUNT_DTM_END^MDC|7|20190805|||||F
OBX|114|ED|18750-0^Relatório de eletrofisiologia cardiaca^LN^^Relatório de seguimento||
Aplicação^PDF^^Base64^{PDF codificado incluído aqui}|||||F|||201908051529-0500
OBX|115|ED|18750-0^Relatório de eletrofisiologia cardiaca^LN^^
^Apresentação de relatório S-ECG|1|Aplicação^PDF^^Base64^{PDF codificado
incluído aqui}|||||F|||201908051529-0500

MENSAGEM DE EXEMPLO 3 – OUTROS DISPOSITIVO DE TERAPÊUTICA (NÃO S-ICD)

MSH|^~\&|LATITUDE|BOSTON SCIENTIFIC||TestClinic|201305092136+0000||
ORU^R01^ORU_R01|0|P|2.6||||UNICODE UTF-8|en^English||IHE_PCD_009^IHE_PCD
^1.3.6.1.4.1.19376.1.6.1.9.1^ISO
PID|1||modelo:N119/série:900141^^^BSX^U||testLastName^testName^^^^^I
~testAuxLName^testAuxFName^^^^^P||19680215|U
PV1||R
PV2|||||TestDeviceGroup^1
OBR|1||1000000916|754054^MDC_IDC_ENUM_SESS_TYPE_RemotePatientInitiated
^MDC||201001151330-0500|||||F
NTE|1||2 fev, 2012 00:00 - Alerta amarelo - Carga Arritmica Auricular de pelo
menos 3 horas num período de 24 horas.
NTE|2||2 fev, 2012 00:00 - Alerta amarelo - Carga Arritmica Auricular de pelo
menos 3 horas num período de 24 horas entre 11 jan, 2010 23:00 e 12 jan, 2010 00:00.
NTE|3||2 fev, 2012 00:00 - Alerta amarelo - Estimulação da
Terapêutica de Ressincronização Cardíaca de < 1%. A estimulação
estava em 2% entre 11 jan,2010 23:00 e 12 jan, 2010 00:00.
NTE|4||2 fev, 2012 00:00 - Alerta amarelo - Estimulação ventricular direito de > 1%.
A estimulação estava em 2% entre 11 jan, 2010 23:00 e 12 jan, 2010 00:00.
NTE|5||2 fev, 2012 00:00 - Alerta amarelo - Evento acionado pelo paciente armazenado.
NTE|6||2 fev, 2012 00:00 - Alerta amarelo - Aumento de peso de, pelo menos,
5 libras em uma semana ou, pelo menos, uma média de 2 libras
num período de dois ou mais dias
NTE|7||2 fev, 2012 00:00 - Alerta amarelo - Perda de peso de, pelo menos,
5 libras em uma semana ou, pelo menos, uma média de 2 libras
num período de dois ou mais dias
NTE|8||2 fev, 2012 00:00 - Alerta amarelo -
Indicador de explante atingido em 12 jan, 2010 00:00.
Programa a substituição deste dispositivo.
NTE|9||2 fev, 2012 00:00 - Alerta amarelo - A voltagem era
demasiado baixa para a capacidade restante projetada.
NTE|10||2 fev, 2012 00:00 - Alerta vermelho - Monitorização remota desativada em
12 jan, 2010 00:00 devido à capacidade limitada da bateria (Indicador de explante
atingido em 12 fev, 2010 00:00).
NTE|11||2 fev, 2012 00:00 - Alerta amarelo -
Detetada corrupção do histórico de terapêutica.
Os dados do histórico de terapêutica anteriormente guardados foram eliminados.
NTE|12||2 fev, 2012 00:00 - Alerta vermelho - Possível avaria do dispositivo
(Código de falha 1011).
NTE|13||2 fev, 2012 00:00 - Alerta vermelho - Possível avaria do dispositivo
(Código de falha 1007).
NTE|14||2 fev, 2012 00:00 - Alerta vermelho - Possível avaria do dispositivo. (Código de falha 1009).
NTE|15||2 fev, 2012 00:00 - Alerta vermelho - O dispositivo está no Modo de segurança.
Para proteção do paciente, o dispositivo foi alternado para o Modo de segurança.
NTE|16||2 fev, 2012 00:00 - Alerta amarelo - Limiar automático ventricular direito
detetado como > amplitude programada ou suspensa.
NTE|17||2 fev, 2012 00:00 - Alerta amarelo - Limiar automático auricular
detetado como > amplitude programada ou suspensa.
NTE|18||2 fev, 2012 00:00 - Alerta vermelho - Impedância do eletrocater de choque fora do intervalo recomendado.
NTE|19||2 fev, 2012 00:00 - Alerta vermelho - Impedância do eletrocater de choque baixa detetada ao tentar administrar um choque.
NTE|20||2 fev, 2012 00:00 - Alerta vermelho - Impedância do eletrocater de choque elevada detetada ao tentar administrar um choque de salvamento.
NTE|21||2 fev, 2012 00:00 - Alerta vermelho - Alta tensão
detetada no eletrocater de choque durante a carga.
NTE|22||2 fev, 2012 00:00 - Alerta vermelho -

A Proteção de electrocauterização está ativa.
 NTE|23||2 fev, 2012 00:00 - Alerta amarelo -
 O episódio de VT ocorreu (V>A).
 NTE|24||2 fev, 2012 00:00 - Alerta amarelo -
 O modo Bradi do dispositivo está em Desativado.
 A terapêutica de Bradi não será administrada.
 NTE|25||2 fev, 2012 00:00 - Alerta amarelo -
 Impedância do electrocateter de estimulação
 ventricular esquerda fora do intervalo recomendado.
 NTE|26||2 fev, 2012 00:00 - Alerta amarelo -
 Impedância do electrocateter de estimulação auricular fora do intervalo recomendado.
 NTE|27||2 fev, 2012 00:00 - Alerta amarelo -
 Amplitude intrínseca ventricular direita fora do intervalo recomendado.
 NTE|28||2 fev, 2012 00:00 - Alerta amarelo -
 Amplitude intrínseca fora do intervalo recomendado.
 NTE|29||2 fev, 2012 00:00 - Alerta amarelo -
 Amplitude intrínseca ventricular esquerda fora do intervalo recomendado.
 NTE|30||2 fev, 2012 00:00 - Alerta amarelo - Amplitude intrínseca auricular fora do
 intervalo recomendado.
 NTE|31||2 fev, 2012 00:00 - Alerta vermelho -
 Impedância do electrocateter de estimulação ventricular direita
 fora do intervalo recomendado.
 NTE|32||2 fev, 2012 00:00 - Alerta vermelho - Impedância de estimulação
 do electrocateter fora do intervalo recomendado.
 NTE|33||2 fev, 2012 00:00 - Alerta amarelo - Terapêutica de choque
 ventricular administrada para converter a arritmia.
 NTE|34||2 fev, 2012 00:00 - Alerta amarelo - Episódio de arritmia ventricular acelerada.
 NTE|35||2 fev, 2012 00:00 - Alerta vermelho - Modo de taquicardia
 ventricular definido para outro valor diferente de Monitor+ Terapêutica.
 NTE|36||2 fev, 2012 00:00 - Alerta vermelho - Notificação de verificação
 do electrocateter devido a uma mudança abrupta na impedância do electrocateter
 de estimulação ventricular direita nos 7 dias passados.
 NTE|37||2 fev, 2012 00:00 - Alerta vermelho - Notificação de verificação
 do electrocateter devido a um episódio com um potencial sinal ventricular
 direito não fisiológico.
 NTE|38||2 fev, 2012 00:00 - Alerta amarelo - Limiar automático
 ventricular esquerdo detetado como > amplitude programada ou suspensa.
 OBX|1|ST|739536^MDC_IDC_EPISODE_ID^MDC|1|MRI-16|||D|F
 OBX|2|DTM|739552^MDC_IDC_EPISODE_DTM^MDC|1|200101020304|||F
 OBX|3|CWE|739568^MDC_IDC_EPISODE_TYPE^MDC|1|754888
 ^MDC_IDC_ENUM_EPISODE_TYPE_Epis_Other^MDC|||F
 OBX|4|CWE|739600^MDC_IDC_EPISODE_VENDOR_TYPE^MDC|1|||F
 OBX|5|NM|739712^MDC_IDC_EPISODE_DURATION^MDC|1|100|s|||F
 OBX|6|ST|739680^MDC_IDC_EPISODE_DETECTION_THERAPY_DETAILS
 ^MDC|1|Modo do Proteção RM|||F
 OBX|7|ST|739536^MDC_IDC_EPISODE_ID^MDC|2|LVAT-15|||F
 OBX|8|DTM|739552^MDC_IDC_EPISODE_DTM^MDC|2|200101020304|||F
 OBX|9|CWE|739568^MDC_IDC_EPISODE_TYPE^MDC|2|754888
 ^MDC_IDC_ENUM_EPISODE_TYPE_Epis_Other^MDC|||F
 OBX|10|CWE|739600^MDC_IDC_EPISODE_VENDOR_TYPE^MDC|2|||F
 OBX|11|NM|739712^MDC_IDC_EPISODE_DURATION^MDC|2|100|s|||F
 OBX|12|ST|739680^MDC_IDC_EPISODE_DETECTION_THERAPY_DETAILS^MDC|2|VE automática|||F
 OBX|13|ST|739536^MDC_IDC_EPISODE_ID^MDC|3|RVAT-14|||F
 OBX|14|DTM|739552^MDC_IDC_EPISODE_DTM^MDC|3|200101020304|||F
 OBX|15|CWE|739568^MDC_IDC_EPISODE_TYPE^MDC|3|754888
 ^MDC_IDC_ENUM_EPISODE_TYPE_Epis_Other^MDC|||F
 OBX|16|CWE|739600^MDC_IDC_EPISODE_VENDOR_TYPE^MDC|3|||F
 OBX|17|NM|739712^MDC_IDC_EPISODE_DURATION^MDC|3|100|s|||F
 OBX|18|ST|739680^MDC_IDC_EPISODE_DETECTION_THERAPY_DETAILS^MDC|3|VD Auto|||F

OBX|19|ST|739536^MDC_IDC_EPISODE_ID^MDC|4|APM-13|||||F
OBX|20|DTM|739552^MDC_IDC_EPISODE_DTM^MDC|4|200101020304|||||F
OBX|21|CWE|739568^MDC_IDC_EPISODE_TYPE^MDC|4|754886
^MDC_IDC_ENUM_EPISODE_TYPE_Epis_PeriodicEGM^MDC|||||F
OBX|22|CWE|739600^MDC_IDC_EPISODE_VENDOR_TYPE^MDC|4|771085
^MDC_IDC_ENUM_EPISODE_VENDOR_TYPE_BSX-Epis_APMRT^MDC|||||F
OBX|23|ST|739680^MDC_IDC_EPISODE_DETECTION_THERAPY_DETAILS^MDC|4|EGM Apresentado|||||F
OBX|24|ST|739536^MDC_IDC_EPISODE_ID^MDC|5|PTM-12|||||F
OBX|25|DTM|739552^MDC_IDC_EPISODE_DTM^MDC|5|200101020304|||||F
OBX|26|CWE|739568^MDC_IDC_EPISODE_TYPE^MDC|5|754887
^MDC_IDC_ENUM_EPISODE_TYPE_Epis_PatientActivated^MDC|||||F
OBX|27|CWE|739600^MDC_IDC_EPISODE_VENDOR_TYPE^MDC|5|771080
^MDC_IDC_ENUM_EPISODE_VENDOR_TYPE_BSX-Epis_PTM^MDC|||||F
OBX|28|NM|739648^MDC_IDC_EPISODE_VENTRICULAR_INTERVAL_AT_DETECTION
^MDC|5|30000|ms|||||F
OBX|29|NM|739712^MDC_IDC_EPISODE_DURATION^MDC|5|100|s|||||F
OBX|30|ST|739680^MDC_IDC_EPISODE_DETECTION_THERAPY_DETAILS^MDC|5|PTM|||||F
OBX|31|ST|739536^MDC_IDC_EPISODE_ID^MDC|6|RAAT-11|||||F
OBX|32|DTM|739552^MDC_IDC_EPISODE_DTM^MDC|6|200101020304|||||F
OBX|33|CWE|739568^MDC_IDC_EPISODE_TYPE^MDC|6|754888
^MDC_IDC_ENUM_EPISODE_TYPE_Epis_Other^MDC|||||F
OBX|34|CWE|739600^MDC_IDC_EPISODE_VENDOR_TYPE^MDC|6|||||F
OBX|35|NM|739712^MDC_IDC_EPISODE_DURATION^MDC|6|100|s|||||F
OBX|36|ST|739680^MDC_IDC_EPISODE_DETECTION_THERAPY_DETAILS^MDC|6|AD Auto|||||F
OBX|37|ST|739536^MDC_IDC_EPISODE_ID^MDC|7|RYTHMIQ-10|||||F
OBX|38|DTM|739552^MDC_IDC_EPISODE_DTM^MDC|7|200101020304|||||F
OBX|39|CWE|739568^MDC_IDC_EPISODE_TYPE^MDC|7|754888
^MDC_IDC_ENUM_EPISODE_TYPE_Epis_Other^MDC|||||F
OBX|40|CWE|739600^MDC_IDC_EPISODE_VENDOR_TYPE^MDC|7|771084
^MDC_IDC_ENUM_EPISODE_VENDOR_TYPE_BSX-Epis_RMS^MDC|||||F
OBX|41|NM|739648
^MDC_IDC_EPISODE_VENTRICULAR_INTERVAL_AT_DETECTION^MDC|7|30000|ms|||||F
OBX|42|NM|739712^MDC_IDC_EPISODE_DURATION^MDC|7|100|s|||||F
OBX|43|ST|739680^MDC_IDC_EPISODE_DETECTION_THERAPY_DETAILS^MDC|7|RYTHMIQ|||||F
OBX|44|ST|739536^MDC_IDC_EPISODE_ID^MDC|8|RMS-9|||||F
OBX|45|DTM|739552^MDC_IDC_EPISODE_DTM^MDC|8|200101020304|||||F
OBX|46|CWE|739568^MDC_IDC_EPISODE_TYPE
^MDC|8|754888^MDC_IDC_ENUM_EPISODE_TYPE_Epis_Other^MDC|||||F
OBX|47|CWE|739600^MDC_IDC_EPISODE_VENDOR_TYPE^MDC|8|771084
^MDC_IDC_ENUM_EPISODE_VENDOR_TYPE_BSX-Epis_RMS^MDC|||||F
OBX|48|NM|739648
^MDC_IDC_EPISODE_VENTRICULAR_INTERVAL_AT_DETECTION^MDC|8|30000|ms|||||F
OBX|49|NM|739712^MDC_IDC_EPISODE_DURATION^MDC|8|100|s|||||F
OBX|50|ST|739680^MDC_IDC_EPISODE_DETECTION_THERAPY_DETAILS^MDC|8|RMS|||||F
OBX|51|ST|739536^MDC_IDC_EPISODE_ID^MDC|9|V-8|||||F
OBX|52|DTM|739552^MDC_IDC_EPISODE_DTM^MDC|9|200101020304|||||F
OBX|53|CWE|739568^MDC_IDC_EPISODE_TYPE
^MDC|9|754881^MDC_IDC_ENUM_EPISODE_TYPE_Epis_VF^MDC|||||F
OBX|54|CWE|739600^MDC_IDC_EPISODE_VENDOR_TYPE
^MDC|9|771073^MDC_IDC_ENUM_EPISODE_VENDOR_TYPE_BSX-Epis_VF^MDC|||||F
OBX|55|CWE|739584^MDC_IDC_EPISODE_TYPE_INDUCED^MDC|9|755329
^MDC_IDC_ENUM_EPISODE_TYPE_INDUCED_YES^MDC|||||F
OBX|56|NM|739648
^MDC_IDC_EPISODE_VENTRICULAR_INTERVAL_AT_DETECTION^MDC|9|30000|ms|||||F
OBX|57|NM|739712^MDC_IDC_EPISODE_DURATION^MDC|9|100|s|||||F
OBX|58|ST|739680
^MDC_IDC_EPISODE_DETECTION_THERAPY_DETAILS^MDC|9|VF ATPx1, 0.1J, 0.2J, 31Jx2|||||F
OBX|59|ST|739536^MDC_IDC_EPISODE_ID^MDC|10|PMT-7|||||F
OBX|60|DTM|739552^MDC_IDC_EPISODE_DTM^MDC|10|200101020304|||||F

```
OBX|61|CWE|739568^MDC_IDC_EPISODE_TYPE^MDC|10|754888
^MDC_IDC_ENUM_EPISODE_TYPE_Epis_Other^MDC|||||F
OBX|62|CWE|739600^MDC_IDC_EPISODE_VENDOR_TYPE^MDC|10|771079
^MDC_IDC_ENUM_EPISODE_VENDOR_TYPE_BSX-Epis_PMT^MDC|||||F
OBX|63|NM|739648^MDC_IDC_EPISODE_VENTRICULAR_INTERVAL_AT_DETECTION
^MDC|10|30000|ms|||||F
OBX|64|NM|739712^MDC_IDC_EPISODE_DURATION^MDC|10|100|s|||||F
OBX|65|ST|739680^MDC_IDC_EPISODE_DETECTION_THERAPY_DETAILS^MDC|10|PMT|||||F
OBX|66|ST|739536^MDC_IDC_EPISODE_ID^MDC|11|V-6|||||F
OBX|67|DTM|739552^MDC_IDC_EPISODE_DTM^MDC|11|200101020304|||||F
OBX|68|CWE|739568^MDC_IDC_EPISODE_TYPE^MDC|11|754882
^MDC_IDC_ENUM_EPISODE_TYPE_Epis_VT^MDC|||||F
OBX|69|CWE|739600^MDC_IDC_EPISODE_VENDOR_TYPE^MDC|11|771075
^MDC_IDC_ENUM_EPISODE_VENDOR_TYPE_BSX-Epis_VT-1^MDC|||||F
OBX|70|CWE|739584^MDC_IDC_EPISODE_TYPE_INDUCED^MDC|11|755329
^MDC_IDC_ENUM_EPISODE_TYPE_INDUCED_YES^MDC|||||F
OBX|71|NM|739648^MDC_IDC_EPISODE_VENTRICULAR_INTERVAL_AT_DETECTION
^MDC|11|30000|ms|||||F
OBX|72|NM|739712^MDC_IDC_EPISODE_DURATION^MDC|11|100|s|||||F
OBX|73|ST|739680^MDC_IDC_EPISODE_DETECTION_THERAPY_DETAILS
^MDC|11|VT-1 ATPx1, 0.1J, 0.2J, 31Jx2|||||F
OBX|74|ST|739536^MDC_IDC_EPISODE_ID^MDC|12|ATR-5|||||F
OBX|75|DTM|739552^MDC_IDC_EPISODE_DTM^MDC|12|200101020304|||||F
OBX|76|CWE|739568^MDC_IDC_EPISODE_TYPE^MDC|12|754883
^MDC_IDC_ENUM_EPISODE_TYPE_Epis_ATAF^MDC|||||F
OBX|77|CWE|739600^MDC_IDC_EPISODE_VENDOR_TYPE^MDC|12|771078
^MDC_IDC_ENUM_EPISODE_VENDOR_TYPE_BSX-Epis_ATR^MDC|||||F
OBX|78|NM|739616^MDC_IDC_EPISODE_atrial_INTERVAL_AT_DETECTION^MDC|12|20000|ms|||||F
OBX|79|NM|739712^MDC_IDC_EPISODE_DURATION^MDC|12|100|s|||||F
OBX|80|ST|739680^MDC_IDC_EPISODE_DETECTION_THERAPY_DETAILS^MDC|12|ATR|||||F
OBX|81|ST|739536^MDC_IDC_EPISODE_ID^MDC|13|V-4|||||F
OBX|82|DTM|739552^MDC_IDC_EPISODE_DTM^MDC|13|200101020304|||||F
OBX|83|CWE|739568^MDC_IDC_EPISODE_TYPE^MDC|13|754882
^MDC_IDC_ENUM_EPISODE_TYPE_Epis_VT^MDC|||||F
OBX|84|CWE|739600^MDC_IDC_EPISODE_VENDOR_TYPE^MDC|13|771077
^MDC_IDC_ENUM_EPISODE_VENDOR_TYPE_BSX-Epis_NSVT^MDC|||||F
OBX|85|CWE|739584^MDC_IDC_EPISODE_TYPE_INDUCED^MDC|13|755329
^MDC_IDC_ENUM_EPISODE_TYPE_INDUCED_YES^MDC|||||F
OBX|86|NM|739648^MDC_IDC_EPISODE_VENTRICULAR_INTERVAL_AT_DETECTION
^MDC|13|30000|ms|||||F
OBX|87|NM|739712^MDC_IDC_EPISODE_DURATION^MDC|13|100|s|||||F
OBX|88|ST|739680^MDC_IDC_EPISODE_DETECTION_THERAPY_DETAILS^MDC|13|NonSustV|||||F
OBX|89|ST|739536^MDC_IDC_EPISODE_ID^MDC|14|V-3|||||F
OBX|90|DTM|739552^MDC_IDC_EPISODE_DTM^MDC|14|200101020304|||||F
OBX|91|CWE|739568^MDC_IDC_EPISODE_TYPE^MDC|14|754882
^MDC_IDC_ENUM_EPISODE_TYPE_Epis_VT^MDC|||||F
OBX|92|CWE|739600^MDC_IDC_EPISODE_VENDOR_TYPE^MDC|14|771074
^MDC_IDC_ENUM_EPISODE_VENDOR_TYPE_BSX-Epis_VT^MDC|||||F
OBX|93|CWE|739584^MDC_IDC_EPISODE_TYPE_INDUCED^MDC|14|755329
^MDC_IDC_ENUM_EPISODE_TYPE_INDUCED_YES^MDC|||||F
OBX|94|NM|739648^MDC_IDC_EPISODE_VENTRICULAR_INTERVAL_AT_DETECTION
^MDC|14|30000|ms|||||F
OBX|95|NM|739712^MDC_IDC_EPISODE_DURATION^MDC|14|100|s|||||F
OBX|96|ST|739680^MDC_IDC_EPISODE_DETECTION_THERAPY_DETAILS
^MDC|14|VT ATPx1, 0.1J, 0.2J, 31Jx2|||||F
OBX|97|ST|739536^MDC_IDC_EPISODE_ID^MDC|15|SBR-2|||||F
OBX|98|DTM|739552^MDC_IDC_EPISODE_DTM^MDC|15|200101020304|||||F
OBX|99|CWE|739568^MDC_IDC_EPISODE_TYPE^MDC|15|754888
^MDC_IDC_ENUM_EPISODE_TYPE_Epis_Other^MDC|||||F
```

OBX|100|CWE|739600^MDC_IDC_EPISODE_VENDOR_TYPE^MDC|15||||||F
OBX|101|NM|739616^MDC_IDC_EPISODE_ATRIAL_INTERVAL_AT_DETECTION^MDC|15|20000|ms|||||F
OBX|102|NM|739712^MDC_IDC_EPISODE_DURATION^MDC|15|100|s|||||F
OBX|103|ST|739680^MDC_IDC_EPISODE_DETECTION_THERAPY_DETAILS^MDC|15|SBR||||||F
OBX|104|ST|739536^MDC_IDC_EPISODE_ID^MDC|16|V-1||||||F
OBX|105|DTM|739552^MDC_IDC_EPISODE_DTM^MDC|16|200101020304||||||F
OBX|106|CWE|739568^MDC_IDC_EPISODE_TYPE^MDC|16|754888
^MDC_IDC_ENUM_EPISODE_TYPE_Epis_Other^MDC|16|754888|F
OBX|107|CWE|739600^MDC_IDC_EPISODE_VENDOR_TYPE^MDC|16||||||F
OBX|108|CWE|739584^MDC_IDC_EPISODE_TYPE_INDUCED^MDC|16|755329
^MDC_IDC_ENUM_EPISODE_TYPE_INDUCED_YES^MDC|16|755329|F
OBX|109|NM|739648^MDC_IDC_EPISODE_VENTRICULAR_INTERVAL_AT_DETECTION
^MDC|16|30000|ms|||||F
OBX|110|NM|739712^MDC_IDC_EPISODE_DURATION^MDC|16|100|s|||||F
OBX|111|ST|739680^MDC_IDC_EPISODE_DETECTION_THERAPY_DETAILS
^MDC|16|Terapêutica Cmd V administrada||||||F
OBX|112|ED|18750-0^Relatório de eletrofisiologia cardiaca^LN||Aplicação^PDF^
^Base64^{PDF codificado incluído aqui}||||||F||201001151330-0500
OBX|113|ED|18750-0^Relatório de eletrofisiologia cardiaca^LN|4|Aplicação^PDF^
^Base64^{PDF codificado incluído aqui}||||||F||201001151330-0500
OBX|114|CWE|720897^MDC_IDC_DEV_TYPE^MDC|17|53665^MDC_IDC_ENUM_DEV_TYPE_IPG^MDC|17|53665|F
OBX|115|ST|720898^MDC_IDC_DEV_MODEL^MDC|17|N119||||||F
OBX|116|ST|720899^MDC_IDC_DEV_SERIAL^MDC|17|900141||||||F
OBX|117|CWE|720900^MDC_IDC_DEV_MFG^MDC|17|53732^MDC_IDC_ENUM_MFG_BSX^MDC|17|53732|F
OBX|118|DTM|720901^MDC_IDC_DEV_IMPLANT_DT^MDC|17|20120513||||||F
OBX|119|ST|720961^MDC_IDC_LEAD_MODEL^MDC|1|12345||||||F
OBX|120|ST|720962^MDC_IDC_LEAD_SERIAL^MDC|1|6789||||||F
OBX|121|CWE|720963^MDC_IDC_LEAD_MFG^MDC|1|753731^MDC_IDC_ENUM_MFG_BIO^MDC|1|753731|F
OBX|122|CWE|720965^MDC_IDC_LEAD_POLARITY_TYPE^MDC|1|753793
^MDC_IDC_ENUM_LEAD_POLARITY_TYPE_UNI^MDC|1|753793|F
OBX|123|DTM|720964^MDC_IDC_LEAD_IMPLANT_DT^MDC|1|20120513||||||F
OBX|124|CWE|720966^MDC_IDC_LEAD_LOCATION^MDC|1|753858
^MDC_IDC_ENUM_LEAD_LOCATION_CHAMBER_LV^MDC|1|753858|F
OBX|125|CWE|720967^MDC_IDC_LEAD_LOCATION_DETAIL_1
^MDC|1|753922^MDC_IDC_ENUM_LEAD_LOCATION_DETAIL_Apex^MDC|1|753922|F
OBX|126|CWE|720968^MDC_IDC_LEAD_LOCATION_DETAIL_2^MDC|1|753925
^MDC_IDC_ENUM_LEAD_LOCATION_DETAIL_VenaCava^MDC|1|753925|F
OBX|127|ST|720961^MDC_IDC_LEAD_MODEL^MDC|2|12345||||||F
OBX|128|ST|720962^MDC_IDC_LEAD_SERIAL^MDC|2|6789||||||F
OBX|129|CWE|720963^MDC_IDC_LEAD_MFG^MDC|2|753731^MDC_IDC_ENUM_MFG_BIO^MDC|2|753731|F
OBX|130|CWE|720965^MDC_IDC_LEAD_POLARITY_TYPE^MDC|2|753793
^MDC_IDC_ENUM_LEAD_POLARITY_TYPE_UNI^MDC|2|753793|F
OBX|131|DTM|720964^MDC_IDC_LEAD_IMPLANT_DT^MDC|2|20120513||||||F
OBX|132|CWE|720966^MDC_IDC_LEAD_LOCATION^MDC|2|753858
^MDC_IDC_ENUM_LEAD_LOCATION_CHAMBER_LV^MDC|2|753858|F
OBX|133|CWE|720967^MDC_IDC_LEAD_LOCATION_DETAIL_1^MDC|2|753922
^MDC_IDC_ENUM_LEAD_LOCATION_DETAIL_Apex^MDC|2|753922|F
OBX|134|CWE|720968^MDC_IDC_LEAD_LOCATION_DETAIL_2^MDC|2|753925
^MDC_IDC_ENUM_LEAD_LOCATION_DETAIL_VenaCava^MDC|2|753925|F
OBX|135|ST|720961^MDC_IDC_LEAD_MODEL^MDC|3|12345||||||F
OBX|136|ST|720962^MDC_IDC_LEAD_SERIAL^MDC|3|6789||||||F
OBX|137|CWE|720963^MDC_IDC_LEAD_MFG^MDC|3|753731^MDC_IDC_ENUM_MFG_BIO^MDC|3|753731|F
OBX|138|CWE|720965^MDC_IDC_LEAD_POLARITY_TYPE^MDC|3|753793
^MDC_IDC_ENUM_LEAD_POLARITY_TYPE_UNI^MDC|3|753793|F
OBX|139|DTM|720964^MDC_IDC_LEAD_IMPLANT_DT^MDC|3|20120513||||||F
OBX|140|CWE|720966^MDC_IDC_LEAD_LOCATION^MDC|3|753858
^MDC_IDC_ENUM_LEAD_LOCATION_CHAMBER_LV^MDC|3|753858|F
OBX|141|CWE|720967^MDC_IDC_LEAD_LOCATION_DETAIL_1^MDC|3|753922
^MDC_IDC_ENUM_LEAD_LOCATION_DETAIL_Apex^MDC|3|753922|F

```

OBX|142|CWE|720968^MDC_IDC_LEAD_LOCATION_DETAIL_2^MDC|3|753925
^MDC_IDC_ENUM_LEAD_LOCATION_DETAIL_VenaCava^MDC|||||F
OBX|143|ST|720961^MDC_IDC_LEAD_MODEL^MDC|4|12345|||||F
OBX|144|ST|720962^MDC_IDC_LEAD_SERIAL^MDC|4|6789|||||F
OBX|145|CWE|720963^MDC_IDC_LEAD_MFG^MDC|4|753731^MDC_IDC_ENUM_MFG_BIO^MDC|||||F
OBX|146|CWE|720965^MDC_IDC_LEAD_POLARITY_TYPE^MDC|4|753793
^MDC_IDC_ENUM_LEAD_POLARITY_TYPE_UNI^MDC|||||F
OBX|147|DTM|720964^MDC_IDC_LEAD_IMPLANT_DT^MDC|4|201205|||||F
OBX|148|CWE|720966^MDC_IDC_LEAD_LOCATION^MDC|4|753858
^MDC_IDC_ENUM_LEAD_LOCATION_CHAMBER_LV^MDC|||||F
OBX|149|CWE|720967^MDC_IDC_LEAD_LOCATION_DETAIL_1^MDC|4|753922
^MDC_IDC_ENUM_LEAD_LOCATION_DETAIL_Apex^MDC|||||F
OBX|150|CWE|720968^MDC_IDC_LEAD_LOCATION_DETAIL_2^MDC|4|753925
^MDC_IDC_ENUM_LEAD_LOCATION_DETAIL_VenaCava^MDC|||||F
OBX|151|ST|720961^MDC_IDC_LEAD_MODEL^MDC|5|12345|||||F
OBX|152|ST|720962^MDC_IDC_LEAD_SERIAL^MDC|5|6789|||||F
OBX|153|CWE|720963^MDC_IDC_LEAD_MFG^MDC|5|753731^MDC_IDC_ENUM_MFG_BIO^MDC|||||F
OBX|154|CWE|720965^MDC_IDC_LEAD_POLARITY_TYPE^MDC|5|753793
^MDC_IDC_ENUM_LEAD_POLARITY_TYPE_UNI^MDC|||||F
OBX|155|DTM|720964^MDC_IDC_LEAD_IMPLANT_DT^MDC|5|201205|||||F
OBX|156|CWE|720966^MDC_IDC_LEAD_LOCATION^MDC|5|753858
^MDC_IDC_ENUM_LEAD_LOCATION_CHAMBER_LV^MDC|||||F
OBX|157|CWE|720967^MDC_IDC_LEAD_LOCATION_DETAIL_1^MDC|5|753922
^MDC_IDC_ENUM_LEAD_LOCATION_DETAIL_Apex^MDC|||||F
OBX|158|CWE|720968^MDC_IDC_LEAD_LOCATION_DETAIL_2^MDC|5|753925
^MDC_IDC_ENUM_LEAD_LOCATION_DETAIL_VenaCava^MDC|||||F
OBX|159|ST|720961^MDC_IDC_LEAD_MODEL^MDC|6|12345|||||F
OBX|160|ST|720962^MDC_IDC_LEAD_SERIAL^MDC|6|6789|||||F
OBX|161|CWE|720963^MDC_IDC_LEAD_MFG^MDC|6|753731^MDC_IDC_ENUM_MFG_BIO^MDC|||||F
OBX|162|CWE|720965^MDC_IDC_LEAD_POLARITY_TYPE^MDC|6|753793
^MDC_IDC_ENUM_LEAD_POLARITY_TYPE_UNI^MDC|||||F
OBX|163|DTM|720964^MDC_IDC_LEAD_IMPLANT_DT^MDC|6|201205|||||F
OBX|164|CWE|720966^MDC_IDC_LEAD_LOCATION^MDC|6|753858
^MDC_IDC_ENUM_LEAD_LOCATION_CHAMBER_LV^MDC|||||F
OBX|165|CWE|720967^MDC_IDC_LEAD_LOCATION_DETAIL_1^MDC|6|753922
^MDC_IDC_ENUM_LEAD_LOCATION_DETAIL_Apex^MDC|||||F
OBX|166|CWE|720968^MDC_IDC_LEAD_LOCATION_DETAIL_2^MDC|6|753925
^MDC_IDC_ENUM_LEAD_LOCATION_DETAIL_VenaCava^MDC|||||F
OBX|167|DTM|721025^MDC_IDC_SESS_DTM^MDC|(201001021310-0600)|||||F
OBX|168|CWE|721026^MDC_IDC_SESS_TYPE^MDC||754052
^MDC_IDC_ENUM_SESS_TYPE_RemoteDeviceInitiated^MDC|||||F
OBX|169|ST|721033^MDC_IDC_SESS_CLINIC_NAME
^MDC||abcdefghijklmnopqrstuvwxyzabcdefghijklmnopqrstuvwxyz|||||F
OBX|170|DTM|721216^MDC_IDC_MSMT_BATTERY_DTM^MDC|(201205221755+0000)|||||F
OBX|171|CWE|721280^MDC_IDC_MSMT_BATTERY_STATUS^MDC||754113
^MDC_IDC_ENUM_BATTERY_STATUS_BOS^MDC|||||F
OBX|172|NM|721472^MDC_IDC_MSMT_BATTERY_REMAINING_LONGEVITY^MDC||132|mo||>|||F
OBX|173|NM|721536^MDC_IDC_MSMT_BATTERY_REMAINING_PERCENTAGE^MDC||100|%|||F
OBX|174|DTM|721664^MDC_IDC_MSMT_CAP_CHARGE_DTM^MDC|(201205221755)|||||F
OBX|175|NM|721728^MDC_IDC_MSMT_CAP_CHARGE_TIME^MDC||3.0|s|||F
OBX|176|CWE|721856^MDC_IDC_MSMT_CAP_CHARGE_TYPE^MDC||754178
^MDC_IDC_ENUM_CHARGE_TYPE_Reformation^MDC|||||F
OBX|177|DTM|721921^MDC_IDC_MSMT_LEADCHNL_RA_DTM_START^MDC|(20121211|||||F
OBX|178|DTM|721922^MDC_IDC_MSMT_LEADCHNL_RA_DTM_END^MDC|(20121211|||||F
OBX|179|CWE|721984^MDC_IDC_MSMT_LEADCHNL_RA_LEAD_CHANNEL_STATUS^MDC||754241
^MDC_IDC_ENUM_CHANNEL_STATUS_CheckLead^MDC|||||F
OBX|180|NM|722051
^MDC_IDC_MSMT_LEADCHNL_RA_SENSING_INTR_AMPL_MEAN^MDC||mV||NAV|||F||20121211
OBX|181|DTM|721925^MDC_IDC_MSMT_LEADCHNL_RV_DTM_START^MDC||19990102|||||F

```

OBX|182|DTM|721926^MDC_IDC_MSMT_LEADCHNL_RV_DTM_END^MDC||20121211|||||F
OBX|183|CWE|721985^MDC_IDC_MSMT_LEADCHNL_RV_LEAD_CHANNEL_STATUS^MDC||754241
^MDC_IDC_ENUM_CHANNEL_STATUS_CheckLead^MDC|||||F
OBX|184|NM|722055
^MDC_IDC_MSMT_LEADCHNL_RV_SENSING_INTR_AMPL_MEAN^MDC||0.1|mV||<|||F|||20121211
OBX|185|DTM|721933^MDC_IDC_MSMT_LEADCHNL_LV_DTM_START^MDC||19990102|||||F
OBX|186|DTM|721934^MDC_IDC_MSMT_LEADCHNL_LV_DTM_END^MDC||20121211|||||F
OBX|187|CWE|721987^MDC_IDC_MSMT_LEADCHNL_LV_LEAD_CHANNEL_STATUS^MDC||754241
^MDC_IDC_ENUM_CHANNEL_STATUS_CheckLead^MDC|||||F
OBX|188|NM|722063^MDC_IDC_MSMT_LEADCHNL_LV_SENSING_INTR_AMPL_MEAN
^MDC||25.0|mV||>|||F|||20121211
OBX|189|CWE|722112^MDC_IDC_MSMT_LEADCHNL_RA_SENSING_POLARITY^MDC||754305
^MDC_IDC_ENUM_POLARITY_UNI^MDC|||||F
OBX|190|CWE|722113^MDC_IDC_MSMT_LEADCHNL_RV_SENSING_POLARITY^MDC||754306
^MDC_IDC_ENUM_POLARITY_BI^MDC|||||F
OBX|191|CWE|722115^MDC_IDC_MSMT_LEADCHNL_LV_SENSING_POLARITY^MDC||||OFF|||F
OBX|192|NM|722176^MDC_IDC_MSMT_LEADCHNL_RA_PACING_THRESHOLD_AMPLITUDE
^MDC||V||NAV|||F|||20121211
OBX|193|NM|722177^MDC_IDC_MSMT_LEADCHNL_RV_PACING_THRESHOLD_AMPLITUDE
^MDC||3.0|V||>|||F|||20121211
OBX|194|NM|722179^MDC_IDC_MSMT_LEADCHNL_LV_PACING_THRESHOLD_AMPLITUDE
^MDC||0.0|V|||F|||20121210
OBX|195|NM|722240^MDC_IDC_MSMT_LEADCHNL_RA_PACING_THRESHOLD_PULSEWIDTH
^MDC||4ms||NAV|||F|||19990102
OBX|196|NM|722241^MDC_IDC_MSMT_LEADCHNL_RV_PACING_THRESHOLD_PULSEWIDTH
^MDC||0.4|ms||V|||F|||19990102
OBX|197|NM|722243^MDC_IDC_MSMT_LEADCHNL_LV_PACING_THRESHOLD_PULSEWIDTH
^MDC||0.4|ms|||F|||19990102
OBX|198|CWE|722304^MDC_IDC_MSMT_LEADCHNL_RA_PACING_THRESHOLD_MEASUREMENT_METHOD
^MDC||754369^MDC_IDC_ENUM_MEASUREMENT_METHOD_ProgrammerManual^MDC|||||F
OBX|199|CWE|722305^MDC_IDC_MSMT_LEADCHNL_RV_PACING_THRESHOLD_MEASUREMENT_METHOD
^MDC||754369^MDC_IDC_ENUM_MEASUREMENT_METHOD_ProgrammerManual^MDC|||F
OBX|200|CWE|722307^MDC_IDC_MSMT_LEADCHNL_LV_PACING_THRESHOLD_MEASUREMENT_METHOD
^MDC||754369^MDC_IDC_ENUM_MEASUREMENT_METHOD_ProgrammerManual^MDC|||||F
OBX|201|CWE|722368^MDC_IDC_MSMT_LEADCHNL_RA_PACING_THRESHOLD_POLARITY^MDC||754305
^MDC_IDC_ENUM_POLARITY_UNI^MDC|||||F
OBX|202|CWE|722369^MDC_IDC_MSMT_LEADCHNL_RV_PACING_THRESHOLD_POLARITY^MDC||754306
^MDC_IDC_ENUM_POLARITY_BI^MDC|||||F
OBX|203|CWE|722371^MDC_IDC_MSMT_LEADCHNL_LV_PACING_THRESHOLD_POLARITY^MDC||754306
^MDC_IDC_ENUM_POLARITY_BI^MDC|||||F
OBX|204|NM|722432^MDC_IDC_MSMT_LEADCHNL_RA_IMPEDANCE_VALUE
^MDC||200|ohms||<|||F|||20121211
OBX|205|NM|722433^MDC_IDC_MSMT_LEADCHNL_RV_IMPEDANCE_VALUE
^MDC||2000|ohms||>|||F|||20121211
OBX|206|NM|722435^MDC_IDC_MSMT_LEADCHNL_LV_IMPEDANCE_VALUE
^MDC||201|ohms|||||F|||20121209
OBX|207|CWE|722496^MDC_IDC_MSMT_LEADCHNL_RA_IMPEDANCE_POLARITY^MDC||754305
^MDC_IDC_ENUM_POLARITY_UNI^MDC|||F
OBX|208|CWE|722497^MDC_IDC_MSMT_LEADCHNL_RV_IMPEDANCE_POLARITY^MDC||754305
^MDC_IDC_ENUM_POLARITY_UNI^MDC|||||F
OBX|209|CWE|722499^MDC_IDC_MSMT_LEADCHNL_LV_IMPEDANCE_POLARITY^MDC||754306
^MDC_IDC_ENUM_POLARITY_BI^MDC|||||F
OBX|210|DTM|722560^MDC_IDC_MSMT_LEADHVCHNL_DTM_START^MDC|1|20121109|||||F
OBX|211|NM|722624^MDC_IDC_MSMT_LEADHVCHNL_IMPEDANCE^MDC|1||ohms||NAV|||F
OBX|212|CWE|722688^MDC_IDC_MSMT_LEADHVCHNL_MEASUREMENT_TYPE
^MDC|1|754433^MDC_IDC_ENUM_HVCHNL_MEASUREMENT_TYPE_LowVoltage^MDC|||||F
OBX|213|CWE|722752^MDC_IDC_MSMT_LEADHVCHNL_STATUS^MDC|1|754241
^MDC_IDC_ENUM_CHANNEL_STATUS_CheckLead^MDC|||||F
OBX|214|NM|729344^MDC_IDC_SET_CRT_LVRV_DELAY^MDC||-100|ms|||||F

```

OBX|215|CWE|729408^MDC_IDC_SET_CRT_PACED_CHAMBERS^MDC||755265
^MDC_IDC_ENUM_CRT_PACED_CHAMBERS_RV_Only^MDC|||||F
OBX|216|NM|729536^MDC_IDC_SET_LEADCHNL_RA_SENSING_SENSITIVITY^MDC||0.5|mV|||||F
OBX|217|NM|729537^MDC_IDC_SET_LEADCHNL_RV_SENSING_SENSITIVITY^MDC||0.9|mV|||||F
OBX|218|NM|729539^MDC_IDC_SET_LEADCHNL_LV_SENSING_SENSITIVITY^MDC||1.0|mV|||||F
OBX|219|CWE|729600^MDC_IDC_SET_LEADCHNL_RA_SENSING_POLARITY^MDC|||||OFF|||F
OBX|220|CWE|729601^MDC_IDC_SET_LEADCHNL_RV_SENSING_POLARITY^MDC||754305
^MDC_IDC_ENUM_POLARITY_UNI^MDC|||||F
OBX|221|CWE|729676^MDC_IDC_SET_LEADCHNL_LV_SENSING_ANODE_LOCATION^MDC||754498
^MDC_IDC_ENUM_ELECTRODE_LOCATION_RV^MDC|||||F
OBX|222|CWE|729740^MDC_IDC_SET_LEADCHNL_LV_SENSING_ANODE_ELECTRODE^MDC|||||OFF|||F
OBX|223|CWE|729804^MDC_IDC_SET_LEADCHNL_LV_SENSING_CATHODE_LOCATION^MDC|||||OFF|||F
OBX|224|CWE|729868^MDC_IDC_SET_LEADCHNL_LV_SENSING_CATHODE_ELECTRODE
^MDC||754561^MDC_IDC_ENUM_ELECTRODE_NAME_Tip^MDC|||||F
OBX|225|CWE|729920^MDC_IDC_SET_LEADCHNL_RA_SENSING_ADAPTATION_MODE^MDC||754625
^MDC_IDC_ENUM_SENSING_ADAPTATION_MODE_AdaptiveSensing^MDC|||||F
OBX|226|CWE|729921^MDC_IDC_SET_LEADCHNL_RV_SENSING_ADAPTATION_MODE^MDC||754625
^MDC_IDC_ENUM_SENSING_ADAPTATION_MODE_AdaptiveSensing^MDC|||||F
OBX|227|CWE|729923^MDC_IDC_SET_LEADCHNL_LV_SENSING_ADAPTATION_MODE^MDC||754626
^MDC_IDC_ENUM_SENSING_ADAPTATION_MODE_FixedSensing^MDC|||||F
OBX|228|NM|729984^MDC_IDC_SET_LEADCHNL_RA_PACING_AMPLITUDE^MDC||5.1|V|||||F
OBX|229|NM|729985^MDC_IDC_SET_LEADCHNL_RV_PACING_AMPLITUDE^MDC||5.0|V|||||F
OBX|230|NM|729987^MDC_IDC_SET_LEADCHNL_LV_PACING_AMPLITUDE^MDC||2.8|V|||||F
OBX|231|NM|730048^MDC_IDC_SET_LEADCHNL_RA_PACING_PULSEWIDTH^MDC||100.0|ms|||||F
OBX|232|NM|730049^MDC_IDC_SET_LEADCHNL_RV_PACING_PULSEWIDTH^MDC||200.0|ms|||||F
OBX|233|NM|730051^MDC_IDC_SET_LEADCHNL_LV_PACING_PULSEWIDTH^MDC||300.0|ms|||||F
OBX|234|CWE|730112^MDC_IDC_SET_LEADCHNL_RA_PACING_POLARITY^MDC||754305
^MDC_IDC_ENUM_POLARITY_UNI^MDC|||||F
OBX|235|CWE|730113^MDC_IDC_SET_LEADCHNL_RV_PACING_POLARITY^MDC||754305
^MDC_IDC_ENUM_POLARITY_UNI^MDC|||||F
OBX|236|CWE|730188^MDC_IDC_SET_LEADCHNL_LV_PACING_ANODE_LOCATION^MDC||754498
^MDC_IDC_ENUM_ELECTRODE_LOCATION_RV^MDC|||||F
OBX|237|CWE|730252^MDC_IDC_SET_LEADCHNL_LV_PACING_ANODE_ELECTRODE^MDC||754564
^MDC_IDC_ENUM_ELECTRODE_NAME_Ring2^MDC|||||F
OBX|238|CWE|730316^MDC_IDC_SET_LEADCHNL_LV_PACING_CATHODE_LOCATION^MDC||754500
^MDC_IDC_ENUM_ELECTRODE_LOCATION_LV^MDC|||||F
OBX|239|CWE|730380^MDC_IDC_SET_LEADCHNL_LV_PACING_CATHODE_ELECTRODE^MDC||754566
^MDC_IDC_ENUM_ELECTRODE_NAME_Ring4^MDC|||||F
OBX|240|CWE|730432^MDC_IDC_SET_LEADCHNL_RA_PACING_CAPTURE_MODE^MDC||754690
^MDC_IDC_ENUM_PACING_CAPTURE_MODE_FixedPacing^MDC|||||F
OBX|241|CWE|730433^MDC_IDC_SET_LEADCHNL_RV_PACING_CAPTURE_MODE^MDC||754691
^MDC_IDC_ENUM_PACING_CAPTURE_MODE_MonitorCapture^MDC|||||F
OBX|242|CWE|730435^MDC_IDC_SET_LEADCHNL_LV_PACING_CAPTURE_MODE^MDC||754690
^MDC_IDC_ENUM_PACING_CAPTURE_MODE_FixedPacing^MDC|||||F
OBX|243|CWE|730752^MDC_IDC_SET_BRADY_MODE^MDC||754760^MDC_IDC_ENUM_BRADY_MODE_DDD
^MDC|||||F
OBX|244|NM|730880^MDC_IDC_SET_BRADY_LOWRATE^MDC||100|(beats)/min|||||F
OBX|245|ST|731072^MDC_IDC_SET_BRADY_SENSOR_TYPE^MDC|Acelerómetro + VM|||||F
OBX|246|NM|731136^MDC_IDC_SET_BRADY_MAX_TRACKING_RATE^MDC||130|(beats)/min|||||F
OBX|247|NM|731200^MDC_IDC_SET_BRADY_MAX_SENSOR_RATE^MDC||180|(beats)/min|||||F
OBX|248|NM|731265^MDC_IDC_SET_BRADY_SAV_DELAY_HIGH^MDC||102|ms|||||F
OBX|249|NM|731266^MDC_IDC_SET_BRADY_SAV_DELAY_LOW^MDC||101|ms|||||F
OBX|250|NM|731329^MDC_IDC_SET_BRADY_PAV_DELAY_HIGH^MDC||104|ms|||||F
OBX|251|NM|731330^MDC_IDC_SET_BRADY_PAV_DELAY_LOW^MDC||103|ms|||||F
OBX|252|CWE|731392^MDC_IDC_SET_BRADY_AT_MODE_SWITCH_MODE^MDC||754763
^MDC_IDC_ENUM_BRADY_MODE_DDIR^MDC|||||F
OBX|253|NM|731456^MDC_IDC_SET_BRADY_AT_MODE_SWITCH_RATE^MDC||130|(beats)/min|||||F
OBX|254|CWE|731520^MDC_IDC_SET_TACHYTHERAPY_VSTAT^MDC||754817
^MDC_IDC_ENUM_THERAPY_STATUS_On^MDC|||||F

```


OBX|255|CWE|731648^MDC_IDC_SET_ZONE_TYPE^MDC|1|754945^MDC_IDC_ENUM_ZONE_TYPE_Zone_VF
^MDC|||||F
OBX|256|CWE|731712^MDC_IDC_SET_ZONE_VENDOR_TYPE^MDC|1|771139
^MDC_IDC_ENUM_ZONE_VENDOR_TYPE_BSX-Zone_VF^MDC|||||F
OBX|257|CWE|731776^MDC_IDC_SET_ZONE_STATUS^MDC|1|755009
^MDC_IDC_ENUM_ZONE_STATUS_Active^MDC|||||F
OBX|258|NM|731840^MDC_IDC_SET_ZONE_DETECTION_INTERVAL^MDC|1|462|ms|||||F
OBX|259|CWE|732097^MDC_IDC_SET_ZONE_TYPE_ATP_1^MDC|1|755073
^MDC_IDC_ENUM_ATP_TYPE_Burst^MDC|||||F
OBX|260|NM|732161^MDC_IDC_SET_ZONE_NUM_ATP_SEQS_1^MDC|1|1|||||F
OBX|261|NM|732225^MDC_IDC_SET_ZONE_SHOCK_ENERGY_1^MDC|1|21.1|J|||||F
OBX|262|NM|732289^MDC_IDC_SET_ZONE_NUM_SHOCKS_1^MDC|1|1|||||F
OBX|263|NM|732226^MDC_IDC_SET_ZONE_SHOCK_ENERGY_2^MDC|1|31.1|J|||||F
OBX|264|NM|732290^MDC_IDC_SET_ZONE_NUM_SHOCKS_2^MDC|1|1|||||F
OBX|265|NM|732227^MDC_IDC_SET_ZONE_SHOCK_ENERGY_3^MDC|1|41.1|J|||||F
OBX|266|NM|732291^MDC_IDC_SET_ZONE_NUM_SHOCKS_3^MDC|1|6|||||F
OBX|267|CWE|731648^MDC_IDC_SET_ZONE_TYPE^MDC|2|754946^MDC_IDC_ENUM_ZONE_TYPE_Zone_VT
^MDC|||||F
OBX|268|CWE|731712^MDC_IDC_SET_ZONE_VENDOR_TYPE^MDC|2|771137
^MDC_IDC_ENUM_ZONE_VENDOR_TYPE_BSX-Zone_VT^MDC|||||F
OBX|269|CWE|731776^MDC_IDC_SET_ZONE_STATUS^MDC|2|755009
^MDC_IDC_ENUM_ZONE_STATUS_Active^MDC|||||F
OBX|270|NM|731840^MDC_IDC_SET_ZONE_DETECTION_INTERVAL^MDC|2|463|ms|||||F
OBX|271|CWE|732097^MDC_IDC_SET_ZONE_TYPE_ATP_1^MDC|2|755073
^MDC_IDC_ENUM_ATP_TYPE_Burst^MDC|||||F
OBX|272|NM|732161^MDC_IDC_SET_ZONE_NUM_ATP_SEQS_1^MDC|2|2|||||F
OBX|273|CWE|732098^MDC_IDC_SET_ZONE_TYPE_ATP_2^MDC|2|755074
^MDC_IDC_ENUM_ATP_TYPE_Ramp^MDC|||||F
OBX|274|NM|732162^MDC_IDC_SET_ZONE_NUM_ATP_SEQS_2^MDC|2|3|||||F
OBX|275|NM|732225^MDC_IDC_SET_ZONE_SHOCK_ENERGY_1^MDC|2|22.2|J|||||F
OBX|276|NM|732289^MDC_IDC_SET_ZONE_NUM_SHOCKS_1^MDC|2|1|||||F
OBX|277|NM|732226^MDC_IDC_SET_ZONE_SHOCK_ENERGY_2^MDC|2|32.2|J|||||F
OBX|278|NM|732290^MDC_IDC_SET_ZONE_NUM_SHOCKS_2^MDC|2|1|||||F
OBX|279|NM|732227^MDC_IDC_SET_ZONE_SHOCK_ENERGY_3^MDC|2|42.2|J|||||F
OBX|280|NM|732291^MDC_IDC_SET_ZONE_NUM_SHOCKS_3^MDC|2|3|||||F
OBX|281|CWE|731648^MDC_IDC_SET_ZONE_TYPE^MDC|3|754946^MDC_IDC_ENUM_ZONE_TYPE_Zone_VT
^MDC|||||F
OBX|282|CWE|731712^MDC_IDC_SET_ZONE_VENDOR_TYPE^MDC|3|771138
^MDC_IDC_ENUM_ZONE_VENDOR_TYPE_BSX-Zone_VT-1^MDC|||||F
OBX|283|CWE|731776^MDC_IDC_SET_ZONE_STATUS^MDC|3|755009
^MDC_IDC_ENUM_ZONE_STATUS_Active^MDC|||||F
OBX|284|NM|731840^MDC_IDC_SET_ZONE_DETECTION_INTERVAL^MDC|3|465|ms|||||F
OBX|285|CWE|732097^MDC_IDC_SET_ZONE_TYPE_ATP_1^MDC|3|755074
^MDC_IDC_ENUM_ATP_TYPE_Ramp^MDC|||||F
OBX|286|NM|732161^MDC_IDC_SET_ZONE_NUM_ATP_SEQS_1^MDC|3|4|||||F
OBX|287|CWE|732098^MDC_IDC_SET_ZONE_TYPE_ATP_2^MDC|3|755076
^MDC_IDC_ENUM_ATP_TYPE_RampScan^MDC|4|||||F
OBX|288|NM|732162^MDC_IDC_SET_ZONE_NUM_ATP_SEQS_2^MDC|3|5|||||F
OBX|289|NM|732225^MDC_IDC_SET_ZONE_SHOCK_ENERGY_1^MDC|3|23.2|J|||||F
OBX|290|NM|732289^MDC_IDC_SET_ZONE_NUM_SHOCKS_1^MDC|3|1|||||F
OBX|291|NM|732226^MDC_IDC_SET_ZONE_SHOCK_ENERGY_2^MDC|3|33.2|J|||||F
OBX|292|NM|732290^MDC_IDC_SET_ZONE_NUM_SHOCKS_2^MDC|3|1|||||F
OBX|293|NM|732227^MDC_IDC_SET_ZONE_SHOCK_ENERGY_3^MDC|3|43.2|J|||||F
OBX|294|NM|732291^MDC_IDC_SET_ZONE_NUM_SHOCKS_3^MDC|3|2|||||F
OBX|295|DTM|737489^MDC_IDC_STAT_DTM_START^MDC||20120522|||||F
OBX|296|DTM|737490^MDC_IDC_STAT_DTM_END^MDC||20120522|||||F
OBX|297|DTM|737505^MDC_IDC_STAT_BRADY_DTM_START^MDC||20120522|||||F
OBX|298|DTM|737506^MDC_IDC_STAT_BRADY_DTM_END^MDC||20120522|||||F
OBX|299|NM|737520^MDC_IDC_STAT_BRADY_RA_PERCENT_PACED^MDC||0|%|||||F

OBX|300|NM|737536^MDC_IDC_STAT_BRADY_RV_PERCENT_PACED^MDC||0%|||||F
OBX|301|DTM|737777^MDC_IDC_STAT_CRT_DTM_START^MDC||20120522|||||F
OBX|302|DTM|737778^MDC_IDC_STAT_CRT_DTM_END^MDC||20120522|||||F
OBX|303|NM|737792^MDC_IDC_STAT_CRT_LV_PERCENT_PACED^MDC||0%|||||F
OBX|304|CWE|737952^MDC_IDC_STAT_EPISODE_TYPE^MDC|1|754882
^MDC_IDC_ENUM_EPISODE_TYPE_Epis_VT^MDC|||||F
OBX|305|CWE|737984^MDC_IDC_STAT_EPISODE_VENDOR_TYPE^MDC|1|771077
^MDC_IDC_ENUM_EPISODE_VENDOR_TYPE_BSX-Epis_NSVT^MDC|||||F
OBX|306|NM|738000^MDC_IDC_STAT_EPISODE_RECENT_COUNT^MDC|1|0|||||F
OBX|307|DTM|738017^MDC_IDC_STAT_EPISODE_RECENT_COUNT_DTM_START^MDC|1|20120522|||||F
OBX|308|DTM|738018^MDC_IDC_STAT_EPISODE_RECENT_COUNT_DTM_END^MDC|1|20120522|||||F
OBX|309|CWE|737952^MDC_IDC_STAT_EPISODE_TYPE^MDC|1|754882
^MDC_IDC_ENUM_EPISODE_TYPE_Epis_VT^MDC|||||F
OBX|310|CWE|737984^MDC_IDC_STAT_EPISODE_VENDOR_TYPE^MDC|1|||||F
OBX|311|NM|738000^MDC_IDC_STAT_EPISODE_RECENT_COUNT^MDC|1|0|||||F
OBX|312|DTM|738017^MDC_IDC_STAT_EPISODE_RECENT_COUNT_DTM_START^MDC|1|20120522|||||F
OBX|313|DTM|738018^MDC_IDC_STAT_EPISODE_RECENT_COUNT_DTM_END^MDC|1|20120522|||||F
OBX|314|CWE|737952^MDC_IDC_STAT_EPISODE_TYPE^MDC|2|754884
^MDC_IDC_ENUM_EPISODE_TYPE_Epis_SVT^MDC|||||F
OBX|315|CWE|737984^MDC_IDC_STAT_EPISODE_VENDOR_TYPE^MDC|2|771076
^MDC_IDC_ENUM_EPISODE_VENDOR_TYPE_BSX-Epis_SVT^MDC|||||F
OBX|316|NM|738000^MDC_IDC_STAT_EPISODE_RECENT_COUNT^MDC|2|0|||||F
OBX|317|DTM|738017^MDC_IDC_STAT_EPISODE_RECENT_COUNT_DTM_START^MDC|2|20120522|||||F
OBX|318|DTM|738018^MDC_IDC_STAT_EPISODE_RECENT_COUNT_DTM_END^MDC|2|20120522|||||F
OBX|319|CWE|737952^MDC_IDC_STAT_EPISODE_TYPE^MDC|4|754883
^MDC_IDC_ENUM_EPISODE_TYPE_Epis_ATA^MDC|||||F
OBX|320|CWE|737984^MDC_IDC_STAT_EPISODE_VENDOR_TYPE^MDC|4|771078
^MDC_IDC_ENUM_EPISODE_VENDOR_TYPE_BSX-Epis_ATR^MDC|||||F
OBX|321|NM|738000^MDC_IDC_STAT_EPISODE_RECENT_COUNT^MDC|4|0|||||F
OBX|322|DTM|738017^MDC_IDC_STAT_EPISODE_RECENT_COUNT_DTM_START^MDC|4|20120522|||||F
OBX|323|DTM|738018^MDC_IDC_STAT_EPISODE_RECENT_COUNT_DTM_END^MDC|4|20120522|||||F
OBX|324|CWE|737952^MDC_IDC_STAT_EPISODE_TYPE^MDC|5|754888
^MDC_IDC_ENUM_EPISODE_TYPE_Epis_Other^MDC|||||F
OBX|325|CWE|737984^MDC_IDC_STAT_EPISODE_VENDOR_TYPE^MDC|5|||||F
OBX|326|NM|738000^MDC_IDC_STAT_EPISODE_RECENT_COUNT^MDC|5|0|||||F
OBX|327|DTM|738017^MDC_IDC_STAT_EPISODE_RECENT_COUNT_DTM_START^MDC|5|20120522|||||F
OBX|328|DTM|738018^MDC_IDC_STAT_EPISODE_RECENT_COUNT_DTM_END^MDC|5|20120522|||||F
OBX|329|CWE|737952^MDC_IDC_STAT_EPISODE_TYPE^MDC|6|754881
^MDC_IDC_ENUM_EPISODE_TYPE_Epis_VF^MDC|||||F
OBX|330|CWE|737984^MDC_IDC_STAT_EPISODE_VENDOR_TYPE^MDC|6|771073
^MDC_IDC_ENUM_EPISODE_VENDOR_TYPE_BSX-Epis_VF^MDC|||||F
OBX|331|NM|738000^MDC_IDC_STAT_EPISODE_RECENT_COUNT^MDC|6|1|||||F
OBX|332|DTM|738017^MDC_IDC_STAT_EPISODE_RECENT_COUNT_DTM_START^MDC|6|20120522|||||F
OBX|333|DTM|738018^MDC_IDC_STAT_EPISODE_RECENT_COUNT_DTM_END^MDC|6|20120522|||||F
OBX|334|CWE|737952^MDC_IDC_STAT_EPISODE_TYPE^MDC|7|754882
^MDC_IDC_ENUM_EPISODE_TYPE_Epis_VT^MDC|||||F
OBX|335|CWE|737984^MDC_IDC_STAT_EPISODE_VENDOR_TYPE^MDC|7|771074
^MDC_IDC_ENUM_EPISODE_VENDOR_TYPE_BSX-Epis_VT^MDC|||||F
OBX|336|NM|738000^MDC_IDC_STAT_EPISODE_RECENT_COUNT^MDC|7|2|||||F
OBX|337|DTM|738017^MDC_IDC_STAT_EPISODE_RECENT_COUNT_DTM_START^MDC|7|20120522|||||F
OBX|338|DTM|738018^MDC_IDC_STAT_EPISODE_RECENT_COUNT_DTM_END^MDC|7|20120522|||||F
OBX|339|CWE|737952^MDC_IDC_STAT_EPISODE_TYPE^MDC|8|754882
^MDC_IDC_ENUM_EPISODE_TYPE_Epis_VT^MDC|||||F
OBX|340|CWE|737984^MDC_IDC_STAT_EPISODE_VENDOR_TYPE^MDC|8|771075
^MDC_IDC_ENUM_EPISODE_VENDOR_TYPE_BSX-Epis_VT-1^MDC|||||F
OBX|341|NM|738000^MDC_IDC_STAT_EPISODE_RECENT_COUNT^MDC|8|3|||||F
OBX|342|DTM|738017^MDC_IDC_STAT_EPISODE_RECENT_COUNT_DTM_START^MDC|8|20120522|||||F
OBX|343|DTM|738018^MDC_IDC_STAT_EPISODE_RECENT_COUNT_DTM_END^MDC|8|20120522|||||F
OBX|344|CWE|737952^MDC_IDC_STAT_EPISODE_TYPE^MDC|9|754884




```
^MDC_IDC_ENUM_EPISODE_TYPE_Epis_Monitor^MDC|||||F  
OBX|345|CWE|737984^MDC_IDC_STAT_EPISODE_VENDOR_TYPE^MDC|9|||||F  
OBX|346|NM|738000^MDC_IDC_STAT_EPISODE_RECENT_COUNT^MDC|9|4|||||F  
OBX|347|DTM|738017^MDC_IDC_STAT_EPISODE_RECENT_COUNT_DTM_START^MDC|9|20120522|||||F  
OBX|348|DTM|738018^MDC_IDC_STAT_EPISODE_RECENT_COUNT_DTM_END^MDC|9|20120522|||||F
```

Остаряла версия. Да не се използва.
Zastaralá verze. Nepoužívat.
Forældet version. Må ikke anvendes.
Version überholt. Nicht verwenden.
Version obsolete. Mην την χρησιμοποιείτε.
Aegunud versioón. Árga kasutage.
Παλιά έκδοση. Μην την χρησιμοποιείτε.
Outdated version. Do not use.
Versión obsoleta. Ne utilizar.
Version périmée. Ne pas utiliser.
Zastarjela verzija. Nemojte upotrebljavati.
Úreлт útгáfa. Notið ekki.
Versione obsoleta. Non utilizzare.
Pasenusi versija. Neizmantot.
Elavult verzió. Ne használja!
Dit is een verouderde versie. Niet gebruiken.
Wersja przeterminowana. Nie używać.
Versão obsoleta. Não utilize.
Versiune expirată. A nu se utiliza.
Zastaraná verzia. Nepoužívat.
Zastarela različica. Ne uporabite.
Vanhentunut versio. Älä käytä.
Föråldrad version. Använd ej.
Güncel olmayan sürüm. Kullanmayın.

Остаряла версия. Да не се използва.
Zastaralá verze. Nepoužívat.
Forældet version. Må ikke anvendes.
Version überholt. Nicht verwenden.
Aegunud versioon. Ärge kasutage.
Παλιά έκδοση. Μην την χρησιμοποιείτε.
Outdated version. Do not use.
Versión obsoleta. No utilizar.
Version périmée. Ne pas utiliser.
Zastarjela verzija. Neizmantot.
Úreлт útγάfa. Notið ekki.
Versione obsoleta. Nemojite upotrebljavati.
Pasenusi versija. Nenaudokite.
Elavult verzió. Ne használja!
Utdatert versjon. Nenaudokite.
Wersja przeterminowana. Nie używać.
Versão obsoleta. Não utilize.
Versiune expirată. A nu se utiliza.
Zastaraná verzia. Nepoužívat.
Zastarela različica. Ne uporabite.
Vanhentunut versio. Älä käytä.
Föråldrad version. Använd ej.
Güncel olmayan sürüm. Kullanmayın.

SÍMBOLOS UTILIZADOS NOS RÓTULOS

ANEXO A

Símbolo	Significado
	Fabricante
	Representante autorizado na Comunidade Europeia
	Endereço do patrocinador da Austrália

Остаряла версия. Да не се използва.
 Zastaralá verze. Nepoužívat.
 Forældet version. Må ikke anvendes.
 Version überholt. Nicht verwenden.
 Version obsolete. Mην την χρησιμοποιείτε.
 Παλιά έκδοση. Μην την χρησιμοποιείτε.
 Outdated version. Do not use.
 Versión obsoleta. No utilizar.
 Version périmée. Ne pas utiliser.
 Zastarjela verzija. Neizmantot.
 Úrejt útɡáfa. Notið ekki.
 Versione obsoleta. Nemojite upotrebljavati.
 Pasenusi versija. Nenaudokite.
 Elavult verzió. Ne használja!
 Dit is een verouderde versie. Niet gebruiken.
 Utdatert versjon. Skal ikke brukes.
 Wersja przeterminowana. Nie używać.
 Versão obsoleta. Não utilize.
 Versiune expirată. A nu se utiliza.
 Zastaraná verzia. Nepoužívať.
 Zastarela različica. Ne uporabite.
 Vanhentunut versio. Älä käytä.
 Föråldrad version. Använd ej.
 Güncel olmayan sürüm. Kullanmayın.

Остаряла версия. Да не се използва.
Zastaralá verze. Nepoužívat.
Forældet version. Må ikke anvendes.
Version überholt. Nicht verwenden.
Version obsolete. Μην την χρησιμοποιείτε.
Παλιά έκδοση. Μην την χρησιμοποιείτε.
Outdated version. Do not use.
Version périmée. Ne pas utiliser.
Zastarjela verzija. Nemojte upotrebljavati.
Úrejt útgáfa. Notið ekki.
Versione obsoleta. Non utilizzare.
Zastarjela verzija. Neizmantot.
Pasenusi versija. Nenaudokite.
Elavult verzió. Ne használja!
Utdatert versjon. Nenaudokite.
Wersja przeterminowana. Nie używać.
Versão obsoleta. Não utilize.
Versione expirată. A nu se utiliza.
Zastaraná verzia. Nepoužívat.
Zastarela različica. Ne uporabite.
Vanhentunut versio. Älä käytä.
Föråldrad version. Använd ej.
Güncel olmayan sürüm. Kullanmayın.

Остаряла версия. Да не се използва.
Zastaralá verze. Nepoužívat.
Forældet version. Må ikke anvendes.
Version überholt. Nicht verwenden.
Aegunud versioön. Myn þyn Χρησιμοποιείτε.
Παλιά έκδοση. Μην την Χρησιμοποιείτε.
Outdated version. Do not use.
Version obsoleta. Ne utilizar.
Zastarjela verzija. Nemojte upotrebljavati.
Úrelt útgáfa. Notið ekki.
Versione obsoleta. Non utilizzare.
Zastarjela verzija. Neizmantot.
Novcojusi versija. Nenaudokite.
Pasenusi versija. Ne használja!
Elavult verzió. Ne használja!
Dit is een verouderde versie. Niet gebruiken.
Utdatert versjon. Skal ikke brukes.
Wersja przeterminowana. Nie używać.
Versão expiratã. A nu se utiliza.
Zastaraná verzia. Nepoužívat.
Zastarela različica. Ne uporabite.
Vanhentunut versio. Älä käytä.
Föråldrad version. Använd ej.
Güncel olmayan sürüm. Kullanmayın.

**Manufacturer**

Boston Scientific Corporation
4100 Hamline Avenue North
St. Paul, MN 55112-5798 USA

EC REP**Authorized Representative in the European Community**

Guidant Europe NV/SA; Boston Scientific
Green Square, Lambroekstraat 5D
1831 Diegem, Belgium

AUS**Australian Sponsor Address**

Boston Scientific (Australia) Pty Ltd
PO Box 332
BOTANY NSW 1455 Australia
Free Phone 1 800 676 133
Free Fax 1 800 836 666

Cardiac Pacemakers Incorporated
4100 Hamline Avenue North
St. Paul, MN 55112-5798 USA

www.bostonscientific.com

1.800.CARDIAC (227.3422)

+1.651.582.4000

© 2019 Boston Scientific Corporation or its affiliates.

All rights reserved.

92290289-007 PT Global 2019-11

